

Lecture 1. 错论

> Linearity 线性 → 叠加性. superposition.

eg. 矢量运算；线性函数/方程组；线性波；昂萨格倒易.

Unlinearity 非线性 → 不具备叠加性.

eg. 弹簧形变与应力；非线性介质；非线性电路；非线性函数

单摆. $\ddot{\theta} = -\frac{g}{l} \sin \theta$

后果：①通常不能解析所有解.

② 方程行为性质可能因参数变化而改变/失稳

—— 分叉行为

③ 计算机计算

④ 非线性科学 (1990s)

▷ 科学简史 / 一些历史节点漫谈

• 1952 固定磁圆. 均匀态 \rightarrow 磁圆

• 1963 Lorenz 简单神力学方程 \rightarrow 混沌与奇异吸引子.

• 1970s. ① Logistic map 「 $X_{n+1} = \mu \cdot X_n(1-X_n)$ 」

② 倍周期分叉行为引入湍流.

③ 混沌概念引入

④ 生物学节律与磁圆. Math biology

⑤ 分形几何创建.

⑥ 亚平衡热力学、耗散结构理论、自组织理论、Haken 协同

▷ 分支 ① 孤子 soliton .

色散 \rightarrow 波包扩散
介质非线性 \rightarrow 波包收敛 } 平衡 \rightarrow 孤子

② 混沌 确定性力学对初值敏感性.
chaos

③ 分形 Fractal

④ 泛圆形成.

↓
非平衡热力学；非平衡统计物理；非线性科学.
软物质；活性物质；生命复杂系统

复杂系统/科学

▷ 举例 (略)

▷ 术语.

相空间 phase/state space : 一系统所有可能状态的集合.

动力学规则(演化规则) dynamical rule .

决定相空间中所有可能态演化趋势的法则

动力系统 : 在动力学规则下演化的系统 .

本课程关注确定性动力学, 连续系统 .

(不含随机项) ($\dot{x} = f(x)$)

V Lecture 2. Flows on the line 一维流

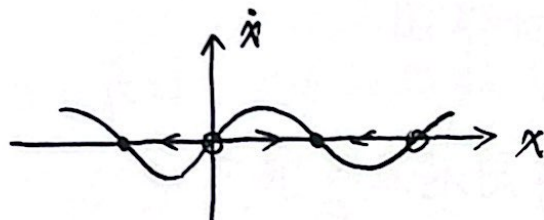
I) A geometric way of thinking 从几何角度考虑.

例. $\dot{x} = \sin x$. 初态 $x(0) = x_0$.

$$\text{解得. } t = \ln \left| \frac{\csc x_0 + \cot x_0}{\csc x + \cot x} \right|$$

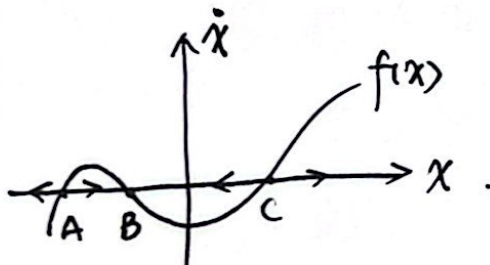
但形式为 $t = t(x)$. 无法看出 x 的演化行为

\Rightarrow 几何角度观察.



易知 $x = 2k\pi$ 为不稳定性 (排斥子)
 $x = \pi + 2k\pi$ 为稳定性 (吸引子)
 即稳定性分析即可, 留注图象

II) Fixed Points and Stability 不动点与稳定性.



对 $\dot{x} = f(x)$ 动力学方程.

相点: 相空间上的点

轨迹: 相点根据动力函数在相空间角速度

相图: 展示动力系统流线图 (如左)

例: 略

III) Linear Stability Analysis 线性稳定性分析

对微分方程 $\dot{x} = f(x)$. 不动点 x^* 为 $f(x^*) = 0$.

考虑小的扰动 $\eta = x - x^*$, $\dot{\eta} = \dot{x}$

$$\begin{aligned}\dot{x} &= \dot{\eta} = f(x^* + \eta) \\ &= f(x^*) + f'(x^*) \cdot \eta + \dots\end{aligned}$$

$$\Rightarrow \dot{\eta} = f'(x^*) \eta \quad \text{稳定性取决于 } f'(x^*)$$

若 $f'(x^*) = 0$, 则分析高阶项, 或作图.

IV) Existence and Uniqueness Theorem 解的存在及唯一性

若 $f(x), f'(x)$ 在 \mathbb{R} 上连续光滑.

则方程 $\dot{x} = f(x)$, $x(t=0) = x_0$ 有唯一解 $x(t)$, 在有限时间区间 $(-\tau, \tau)$ 内

否则 $x(t)$ 不唯一, 即 $x(t)$ 可有多解

e.g. $f(x)$ 在 $0, x=0$ 附近不存在.

$$\dot{x} = x^{\frac{1}{3}}, \quad x(t=0) = 0.$$

$$\Rightarrow x(t) = 0 \quad \text{or} \quad x(t) = \pm \left(\frac{2}{3}t\right)^{\frac{3}{2}}$$

e.g. 时间有限

$$\dot{x} = 1 + x^2 \quad x(0) = 0.$$

$$\Rightarrow x(t) = \tan(t)$$

V) Impossibility of Oscillations 振荡解不存在.

对一阶微分方程 $\dot{x} = f(x)$, $x(t=0) = x_0$.

相图点轨迹由不神点引导, 只能

- ① 接近不神点
- ② 趋向无穷大

即永不发生过冲, 阻尼/非阻尼振荡

PS: $f(x)$ 仅是 x 的函数.

VI) Potential 势函数, 另一种可视化一维系统的方法

$\dot{x} = f(x)$, 定义势函数 $V(x) = - \int f(x) dx$

$$\Rightarrow \dot{x} = - \frac{dV}{dx}$$

且 $\frac{dV}{dt} = - \left(\frac{dV}{dx} \right)^2 < 0$ 势函数点在减小

势极大值 $\frac{dV}{dx} = 0$ 为不神点

极小值 为稳定点

极大值 为不稳定点

「但二维叶更困难, 势不一定存在」

VII) Solving Equations on the Computer 数值解析—欧拉法

$$x(t_0 + \Delta t) \approx x(t_0) + f(x_0) \Delta t$$

+ 截断

$$\xrightarrow{\text{离散化}} x_{n+1} = x_n + f(x_n) \Delta t$$

$$\text{误差 } E = |x(t_n) - x_n| \quad \Delta t \rightarrow 0 \text{ 时 } E \rightarrow 0.$$

误差较大且不断积累 ($\Delta E \propto \Delta t$)

改进的 Euler 法

$\approx \text{RK4}$

$$\tilde{x}_{n+1} = x_n + f(x_n) \Delta t$$

$$x_{n+1} = x_n + \frac{1}{2} [f(x_n) + f(\tilde{x}_{n+1})] \Delta t$$

此时 $E \propto (\Delta t)^2$

四阶的 $k_1 = f(x_n) \Delta t$

Runge-Kutta $k_2 = f(x_n + \frac{1}{2} k_1) \Delta t$

$$k_3 = f(x_n + \frac{1}{2} k_2) \Delta t$$

$$k_4 = f(x_n + k_3) \Delta t$$

$$\Rightarrow x_{n+1} = x_n + \frac{1}{6} (k_1 + 2k_2 + 2k_3 + k_4)$$

$$E \propto (\Delta t)^4.$$

Package : matlab . mathematica XPPAUT . Oscill8

确定性动力学：任何状态在未来有唯一结果。eg. 牛顿方程

随机动力学：含随机项 eg. 马尔可夫方程

离散系统：映射，差分方程 eg. $x_{n+1} = f(x_n)$

连续系统：瞬间连续，eg. 微分动力系统 $\dot{x} = f(\vec{x})$

自治系统 演化规则 $f(\vec{x})$ or $f(\vec{x}, t)$.
非自治 n $n+1$.

空间延展系统 eg 扩散方程 $\frac{\partial u}{\partial t} = D \nabla^2 u$.

延迟系统. eg. $\dot{x}(t) = f(x(t-\tau))$

$$x_{n+1} = f(x_n, x_{n-1}, x_{n-2})$$

Lecture 3 Bifurcations on the line

一、微系统与分叉行为

I) What is a bifurcations. 什么是分叉行为

$\dot{x} = f(x, a)$ a 为参变量 control parameter

随参变量 a 改变，系统性质可能发生变化。

① 不动点 Fixed points 形成或消失。

② 不动点稳定性改变。

—— 称此种性质改变为分叉行为 Bifurcation

发生分叉行为时参变量的值称“分叉点” bifurcation point

分叉行为与不稳定性 instabilities 高度相关。

是系统非线性的结果。

类型。

① 轮倍高分叉：不动点出现或消失。

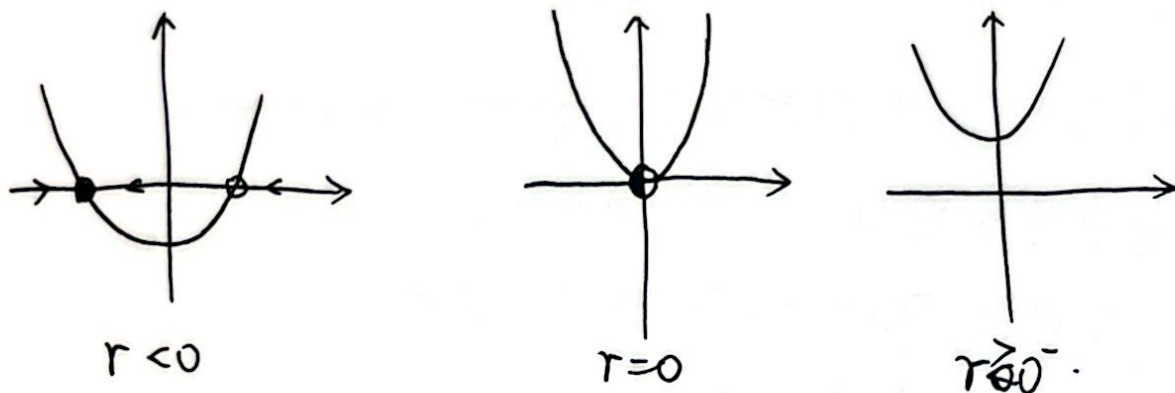
② 跃临界分岔：不动点稳定性发生变化。

③ 叉形分岔：同时出现不动点个数及稳定性改变。
(对称)

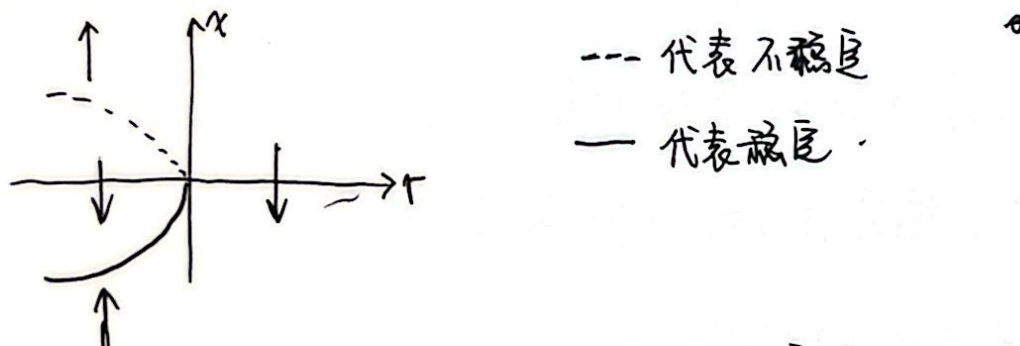
II) Saddle-node bifurcation 鞍结点分叉.

/tangent/fold/ turning .

$$\text{eg. } \dot{x} = x^2 + r$$

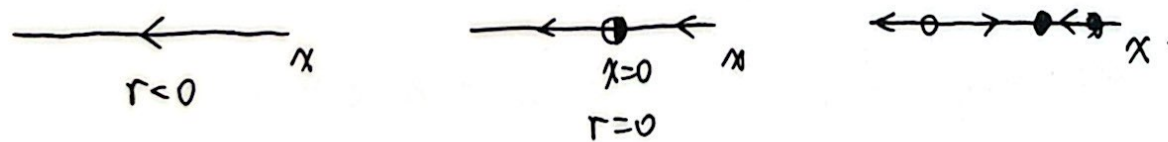


绘出分叉图 表明不稳点与分叉点关系 .



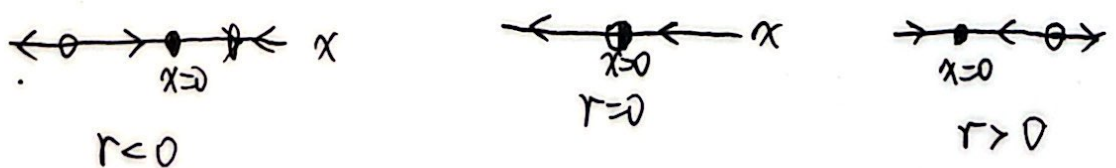
势函数面 $V(x) = -rx - \frac{1}{3}x^3$ 也会随参变量 r 改变 .

$$\text{eg. } \dot{x} = -x^2 + r .$$

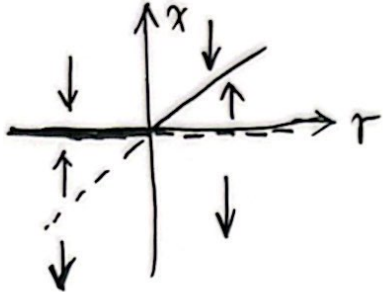


III) Transcritical bifurcation 跨临界分岔.

$$\text{eg. } \dot{x} = rx - x^2 .$$



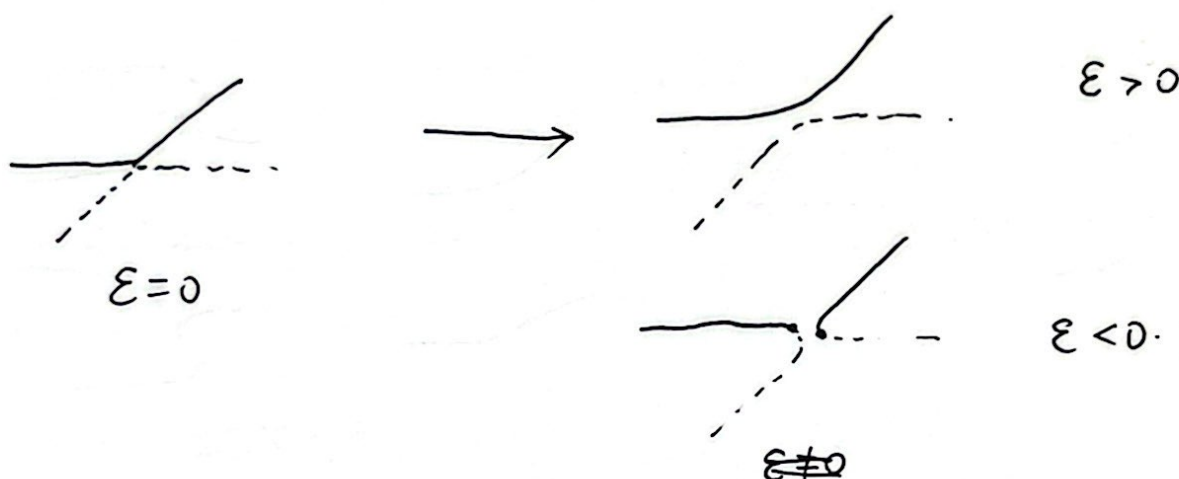
绘出分岔图.



可见不神点只是稳定性互换

如果对神力方程引入微扰

$$\dot{x} = rx - x^2 + \varepsilon(r, x)$$



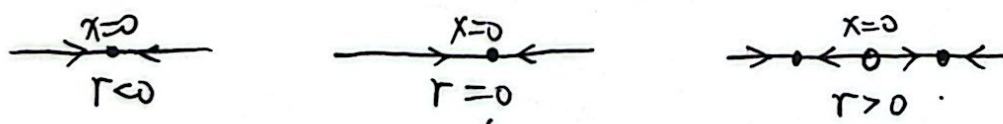
事实上，势 / 动力源的高阶展开项并不在性质

上造成突变，影响分岔性质

只有零阶项才能在性质上为跨临界分岔带来新行为

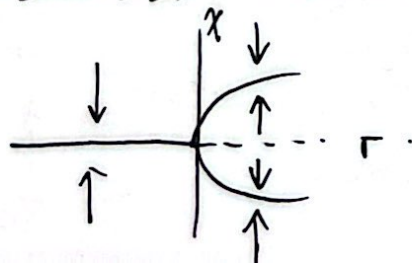
IV) 叉形分岔 Pitch-tors bifurcation

i) 超临界分岔 $\dot{x} = rx - x^3$



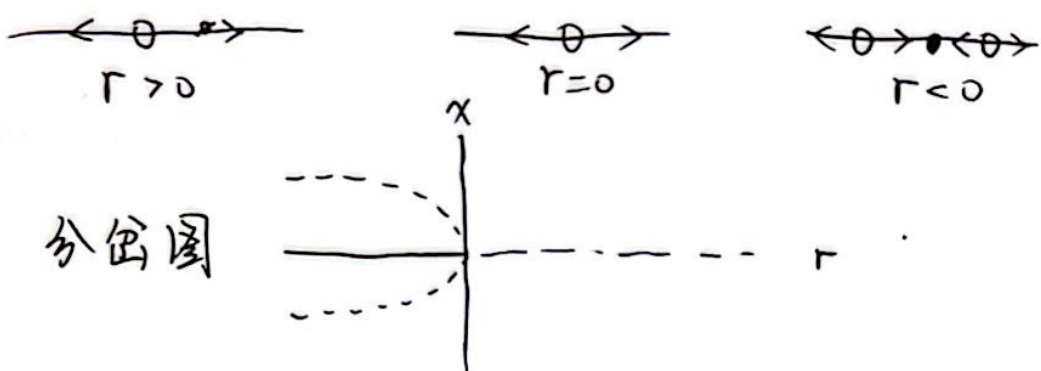
↑渐近解缓慢趋近于 $x=0$ (临界慢化).

分岔图

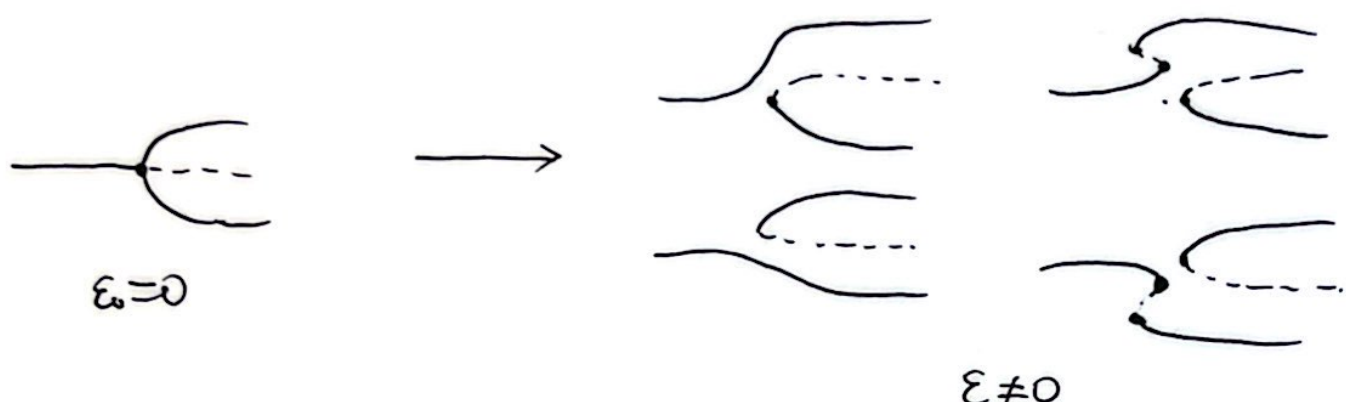


II) K 恒界分岔

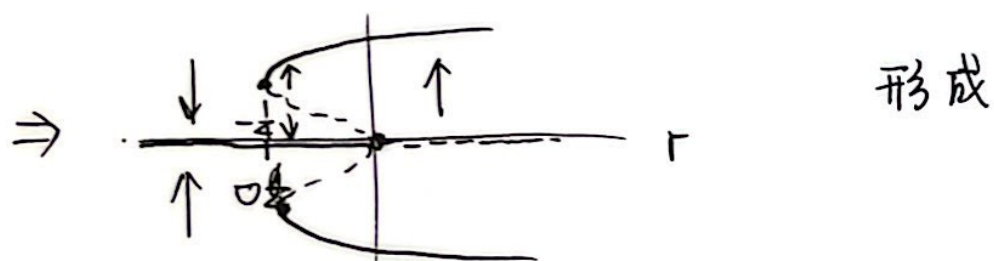
$$\dot{x} = rx + x^3$$



恰超... 加低阶微扰 $\dot{x} = rx - x^3 + \varepsilon(r, x)$.

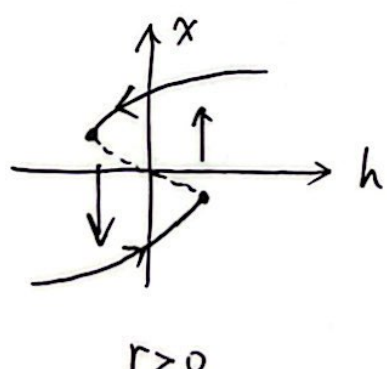
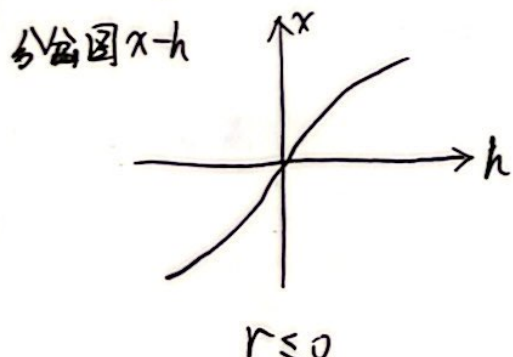


恰次... 加入高阶项 $\dot{x} = rx + x^3 - x^5$



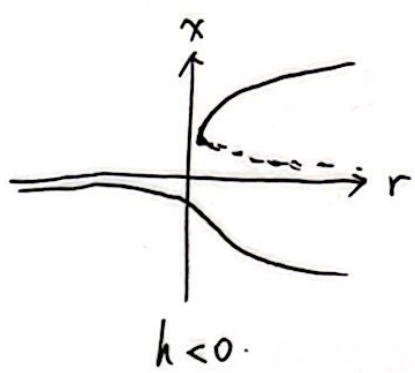
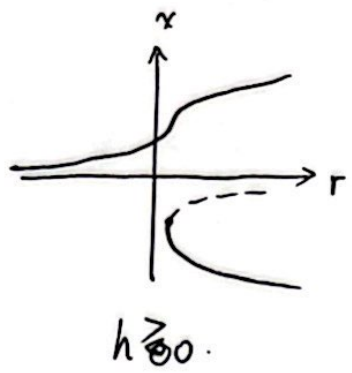
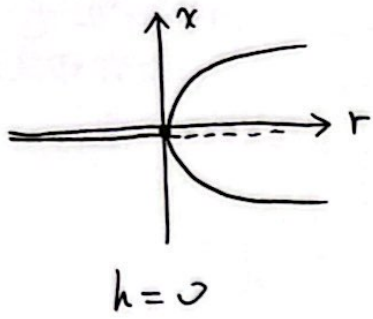
▷ 有缺陷的叉型分岔.

e.g. $\dot{x} = h + rx - x^3$ h 为 缺陷型参数

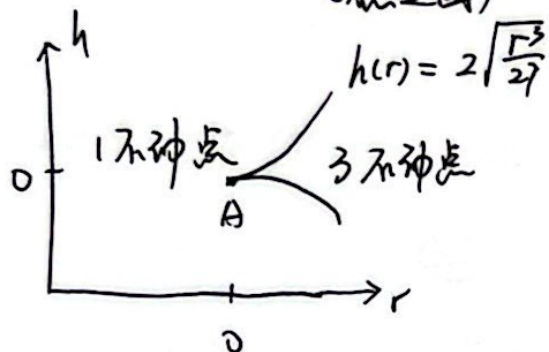


滞后效应
⇒ 磁滞回线的
双稳态分布

分岔图 x-r



若考虑双参数分岔曲线，即
(稳定性图)



A 称尖点，
边缘处发生鞍结点分岔。
尖点处发生余维二分歧
(仅双参数变会发生)

V) 一个例子.

$$\dot{N} = RN(1 - \frac{N}{K}) - p(N) \quad N \text{ 为昆虫数, } K \text{ 为环境承载量.}$$

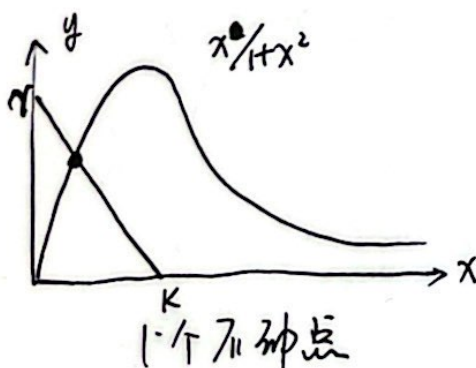
$$p(N) = \frac{BN^2}{A^2 + BN^2} \quad p(N) \text{ 为被鸟类捕食量.}$$

有参数 R, K, A, B. \rightarrow 参数纲化

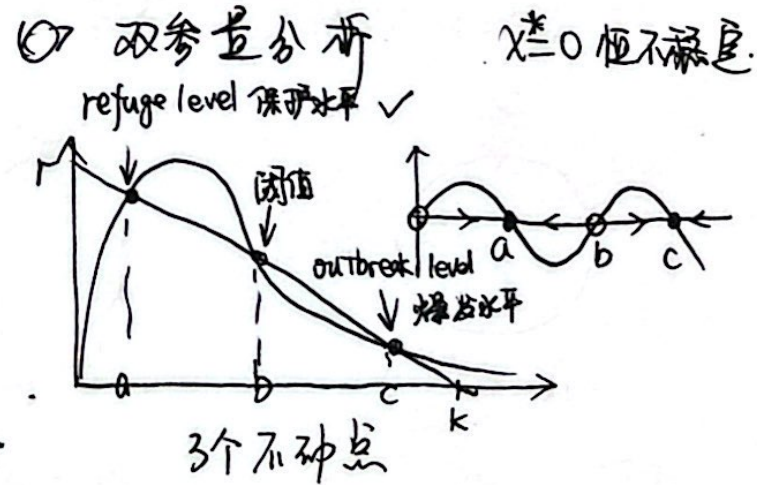
$$\zeta \tau = \frac{Bt}{A}, \quad r = \frac{RA}{B} \quad k = \frac{K}{A} \quad x = \frac{N}{A}, \quad \text{有}$$

无量纲增长率 无量纲承载量

$$\frac{dx}{d\tau} = rx(1 - \frac{x}{k}) - \frac{x^2}{1+x^2}$$



分岔



分岔条件：两曲线相切.

$$\left\{ \begin{array}{l} \frac{d}{dx} \left[r(1 - \frac{x}{k}) \right] = \frac{d}{dx} \left[\frac{x}{1+x^2} \right] \\ r(1 - \frac{x}{k}) = \frac{x}{1+x^2} \end{array} \right. \quad \text{解得 } \left\{ \begin{array}{l} r = \frac{2x^3}{(1+x^2)^2} \\ k = \frac{2x^3}{x^2-1} \end{array} \right. \quad x \text{ 为切点处值}$$

绘出分岔图



分析. 希望 $x=a$ (保护). 但初态若 $\rightarrow x_0 > b$, 则末态 $x=c$ (爆发)

若 a, b 发生鞍点分岔而消失, ~~并会~~

在 $x=a$ 时 x 会突跃至 $x=c$. 并且.

即使 a, b 回到初态重新出现, 由于滞后效应.

x 也无法回到 c (除非再令 b, c 发生分岔而消失).

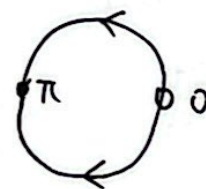
实际上, 完全成熟的森林, $r \approx 1$.

VI) 周期模型 (一维). $\dot{\theta} = f(\theta), \theta \in [0, 2\pi]$

e.g. $\dot{\theta} = \omega$.

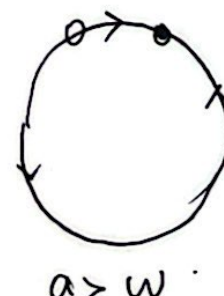
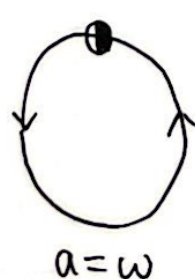
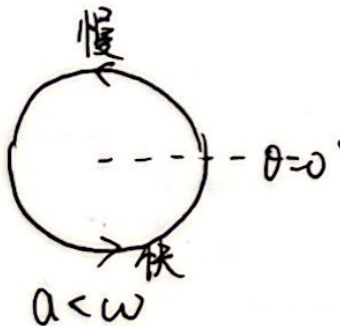


$$\dot{\theta} = \sin \theta$$



e.g. $\dot{\theta} = \omega - a \sin \theta$

分岔点 $\Leftrightarrow a = \omega$.



鞍点分叉

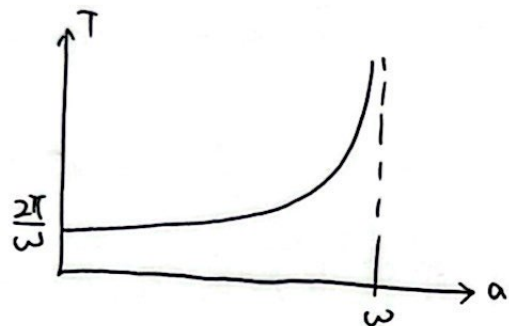
$$\text{不稳定的 } \theta^* = \arccos \alpha \sqrt{1 - (\frac{\omega}{\alpha})^2}, \quad \pi - \theta^*$$

$$f'(\theta^*) = -\alpha \cos \theta^* = \pm \alpha \sqrt{1 - (\frac{\omega}{\alpha})^2} \quad -\text{稳定}-\text{不稳定}$$

$$\text{周期 } T = \int dt = \int_0^{2\pi} \frac{dt}{d\theta} d\theta$$

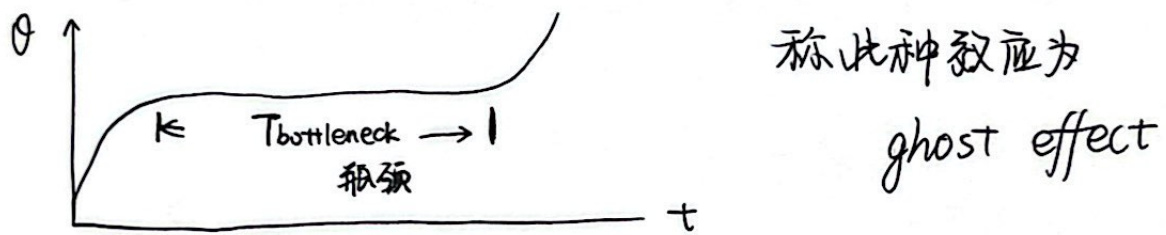
$$= \int_0^{2\pi} \frac{d\theta}{\omega - \alpha \sin \theta} = \frac{2\pi}{\sqrt{\omega^2 - \alpha^2}} \stackrel{\alpha \rightarrow \omega}{\simeq} \pi \cdot \frac{\sqrt{2}}{\sqrt{\omega}} \cdot \frac{1}{\sqrt{\omega - \alpha}}, \textcircled{*}$$

作出 $\alpha-T$ 图有



T 随 $(\alpha_c - \alpha)^{-\frac{1}{2}}$ 发散, $\alpha_c = \omega$

放而 $\alpha \rightarrow \omega$ 时, 在一个周期内, 存在 $\theta-t$ 图如下



对于鞍点分叉, 在临近分叉点时间隙存在此效应

$$\text{eg. } \dot{x} = r + x^2. \quad T_{bn} \simeq \frac{\pi}{\sqrt{r}}. \quad \text{振幅律相同}$$

sin θ

~~VIII 分岔的普遍理论 (一维)~~

例 1. 过阻尼摆. $mL^2 \ddot{\theta} + b\dot{\theta} + mgL \sin \theta = T$

阻尼系数 b 很大时, $\dot{\theta} \sim 0$.

$$\Rightarrow b\dot{\theta} + mgL \sin \theta = T$$

$$\xrightarrow{\text{无量纲化}} \frac{d\theta}{dt} = \gamma - \sin \theta \quad T = \frac{mgL}{b} t \quad \gamma = \frac{T}{mgL}$$

同上

例2 萤火虫的聚集 & 交配

同步发光的都是雄性，同步性如何实现？

关键在于萤火虫会根据其它萤火虫调节自己

考虑发光为周期性振荡行为，自身 $\dot{\theta} = \omega$ ，其它 $\dot{\phi} = \Omega$

引入调节因素， $\dot{\theta} = \omega + A \sin(\phi - \theta)$

令 $\psi = \phi - \theta$ ，则 $\dot{\psi} = \dot{\phi} - \dot{\theta} = \Omega - \omega - A \sin \psi$

无量纲化 $\frac{d\phi}{dt} = \mu - \sin \phi \quad T = At, \mu = \frac{\Omega - \omega}{A}$

当 $\frac{d\phi}{dt} = 0$ 时，即 $\phi - \theta$ 为定值， \Rightarrow 锁相 / 夹带 entrainment
而这就取决于 μ 的大小 phase-locking

$\mu \in (0, 1)$ 时发生锁相，此时发光频率相同而不一致

$\mu > 1$ 时发生相位漂移 phase drift

$$\omega - A \leq \Omega \leq \omega + A$$

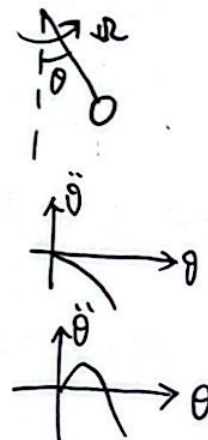
例3. 滚摆的分岔行为

$$ML^2\ddot{\theta} = -Mg \sin \theta + M\Omega^2 L \sin \theta \cos \theta$$

少重正化 $\Rightarrow \ddot{\theta} = \sin \theta (\Omega^2 \cos \theta - \frac{g}{L})$

$$= \theta (\Omega^2 - \frac{g}{L}) - \frac{1}{2} \Omega^2 \theta^3.$$

$\Omega^2 < \frac{g}{L}$
 $\Omega^2 > \frac{g}{L}$



于是可利用 Ω 做开关。

VII) Conditions for bifurcation in one dimensional systems

一维系统分岔条件的一般解释。

► 普通的-维系统，带上参数入后，可认为是 $\dot{y} = g(y, \lambda)$

在 $(y, \lambda) = (y_0, \lambda_0)$ 时有不动点 $g(y_0, \lambda_0) = 0$.

实际上，解不动点即 $g(y, \lambda) = 0 \Rightarrow y = f(\lambda)$

$y = f(\lambda)$ 在 $y-\lambda$ 平面代表一条曲线。

若出现多条曲线时，若曲线相交，即出现不动点。

从而问题转化为对隐函数 $g(y, \lambda) = 0$ 的研究。

「隐函数唯一性定理」

若 ① $g(y_0, \lambda_0) = 0$, ② (y_0, λ_0) 附近 g, g_y, g_{yy} 连续

③ $g'_y(y_0, \lambda_0) \neq 0$

则 满足 $g(f(\lambda), \lambda) = 0$, $y_0 = f(\lambda_0)$ 的函数 $y = f(\lambda)$ 唯一。
即无分岔行为

关键在于 $g'_y(y_0, \lambda_0) \neq 0$ (特征值不为0)

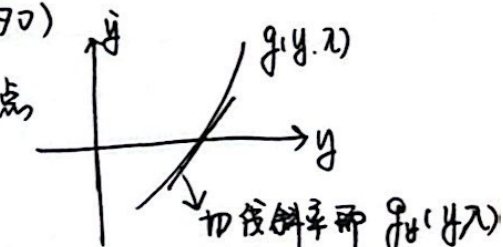
若 $g'_y(y_0, \lambda_0) = 0$ 的 (y_0, λ_0) 为双曲不动点

$$\frac{dg}{d\lambda} = \frac{\partial g}{\partial y} \frac{dy}{d\lambda} + \frac{\partial g}{\partial \lambda} = 0$$

$$\Rightarrow f' = -\frac{g'_y}{g''_y} \quad \text{由此可找到 } f(\lambda) \text{ 且 } y = f(\lambda)$$

由于 $y = f(\lambda)$ 唯一, ④ $\frac{\partial g}{\partial y}$ 未跨越0, 稳定性类型不变

(y_0, λ_0) 附近有



故而 $g'_y(y_0, \lambda_0) = 0$ 时 可能出现分岔。称 (y_0, λ_0) 为非双曲不动点
(必要条件)

此时若 ① $y = f(\lambda)$ 不唯一。

从不动点 (y_0, λ_0) 延伸出多条曲线，产生分岔。

④ \rightarrow 转折点分叉 $\dot{x} = \mu - x^2$, $\partial_x f(0, 0) = 0$.

临界点分叉 $\dot{x} = \mu x - x^2$, $\partial_x f(0, 0) = 0$

叉型分岔 $\dot{x} = \mu x - x^3$, $\partial_x f(0, 0) = 0$

\rightarrow 但如 $\dot{x} = \mu - x^3$, $\partial_x f(0, 0) = 0$, 不分岔。

均满足

非双曲条件

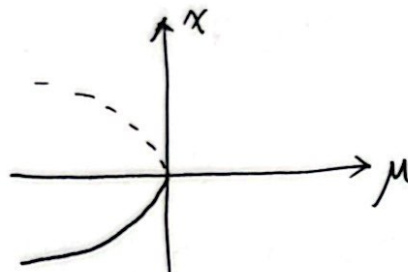
▷ 三种分歧行为的区分判据

• 转折点分歧

$$\text{令 } x = y - y_0, \quad \mu = \lambda - \lambda_0.$$

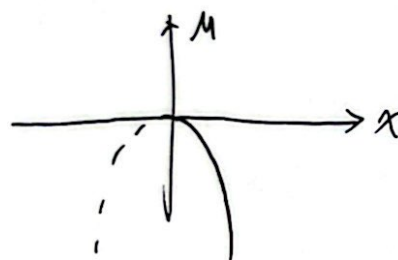
出现分歧时，必有 $\begin{cases} f(0,0) = 0 \\ \partial_x f(0,0) = 0 \end{cases}$

分歧图



$$f(x, \mu) = 0 \Rightarrow x = x(\mu).$$

即有 $x' = \infty$. 不神秘处



$$f(x, \mu) = 0 \Rightarrow \mu = \mu(x)$$

即有 $\mu' = 0$.

\Rightarrow 以 μ 为纵轴、不发生分歧 $\partial_\mu f(0,0) \neq 0$. (唯一性)

• 转折点式分歧. $d_x \mu(0) = 0, d_x^2 \mu(0) \neq 0$.

$$\left\{ \begin{array}{l} \Rightarrow \frac{d\mu}{dx} = - \frac{\partial_x f}{\partial_\mu f} = 0 \Rightarrow \text{即 } \partial_x f(0,0) = 0, \partial_\mu f \neq 0. \\ \Rightarrow \frac{d^2\mu}{dx^2} = \partial_x^2 f + \partial_x \partial_\mu f \frac{d\mu}{dx} + \partial_\mu^2 f (d_x \mu)^2 + \partial_\mu f d_x^2 \mu = 0 \end{array} \right.$$

因为在不神秘处 $\partial_x f(0,0) = 0, d_x \mu = 0$. 因为 $f = 0$

$$\therefore 0 = \partial_x^2 f + \partial_\mu f d_x^2 \mu \Rightarrow \text{即 } \frac{d^2 \mu}{dx^2} = - \frac{\partial_x^2 f}{\partial_\mu f} \neq 0$$

$$\Rightarrow \partial_x^2 f(0,0) \neq 0$$

综上，发生此分歧条件为

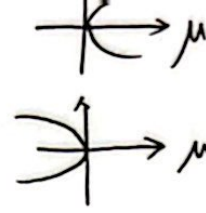
① $f(0,0) = 0, \partial_x f(0,0) = 0$

② $\partial_\mu f \neq 0$

③ $\partial_x^2 f \neq 0$

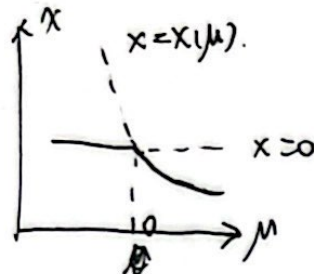
\Rightarrow 必存在 μ 原与 x^2 项. $x = \mu \pm x^2$

对于开口方向，因 $d_x^2\mu = -\frac{\partial x}{\partial \mu f}$. $\left\{ \begin{array}{l} > 0 \\ < 0 \end{array} \right.$



· 膜临界分岔

分岔图



两条曲线都存在于 $\mu=0$ 两侧
通过 $\mu=0$ 时 稳定性更变

不论 $x=x(\mu)$ 还是 $\mu=\mu(x)$ 都有分岔

$$\Rightarrow \partial_x f = \partial_{\mu} f = 0.$$

由于 $x=0$ 为某一解. $\dot{x} = f(x, \mu) = x F(x, \mu).$

$$\therefore F(x, \mu) = \begin{cases} f/x & x \neq 0 \\ \partial_x f & x=0 \end{cases}$$

要成 $x=0$ 时 $F(x, \mu)$ 唯一给定的 $x = \mu(x)$ 唯一

$$\Rightarrow \partial_{\mu} F = \partial_x \partial_{\mu} f \neq 0.$$

要求不与 $x=0$ 曲线重合 $\Rightarrow \frac{d\mu}{dx} \neq 0$ or ∞
同存于 $\mu=0$ 两侧

$$\Rightarrow \partial_x^2 f \neq 0. \quad \partial_x \partial_{\mu} f \neq 0.$$

从而发生此分岔条件为

$$① f(0, 0) = 0. \quad \partial_x f = 0 \quad \text{临凸致的必要性条件}$$

$$② \partial_{\mu} f = 0 \quad \text{临凸致条件} (\mu-\text{分岔}) \quad \text{故一般形式为 } \dot{x} = \mu x + x^2$$

$$③ \partial_{x\mu}^2 f \neq 0 \quad \oplus \quad \partial_x^2 f \neq 0$$

$\uparrow \infty \quad \uparrow 0$

不与 $x=0$ 重合解. 不出现 $\mu=0$ 解

· 叉型分歧点

显然 $\partial_x f = 0$ 不论如何有分歧

$$\dot{x} = x F(x, \mu) . \quad F(x, \mu) \text{ 有鞍点分歧} = \begin{cases} f/x & x \neq 0 \\ \partial_x f & x = 0 \end{cases}$$

$$\Rightarrow \begin{cases} \partial_\mu F \neq 0 \\ \partial_{xx}^2 F \neq 0 \\ \partial_x F = 0 \end{cases} \Rightarrow \begin{cases} \partial_{x\mu}^2 f \neq 0 \\ \partial_{xxx}^3 f \neq 0 \\ \partial_{xx}^2 f = 0 \end{cases}$$

跨临界行为 $\partial_x f = 0$, $\partial_{xx}^2 f \neq 0$ (舍) $\partial_{x\mu}^2 f \neq 0$

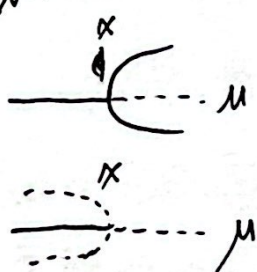
综上, 发生此分歧行为的条件是.

$$① f(0, 0) = 0, \quad \partial_x f = 0$$

$$② \partial_x f = 0 \quad ③ \partial_x^2 f = 0 \quad ④ \partial_{x\mu}^2 f \neq 0 \quad ⑤ \partial_{xx}^3 f \neq 0$$

故而一般形式为 $\dot{x} = \mu x + x^3$.

$$\frac{d^3\mu}{dx^2} = -\frac{\partial_x^3 f}{\partial_{x\mu}^2 f} . \quad \begin{cases} > 0 \\ < 0 \end{cases}$$



五

Lecture 4. Two-dimensional Linear Systems

在一维相空间中，流动极为受限，轨迹单调且恒定。

在更高维相空间中，更大范围内的动力学行为成为可能。

I) Definition and examples of 2D linear systems.

$$\dot{\vec{x}} = A \vec{x} \quad \vec{x} = \begin{pmatrix} x \\ y \end{pmatrix} \quad A = \begin{pmatrix} a & b \\ c & d \end{pmatrix}. \quad \text{常数项不存在。}$$

不动点 $\vec{x}^* = \vec{0}$

e.g. 1. Simple harmonic oscillator 简谐振子

$$m\ddot{x} + kx = 0 \Rightarrow \begin{cases} \dot{x} = v \\ \dot{v} = -\omega^2 x \end{cases}$$

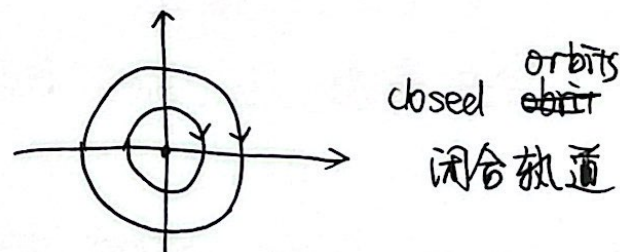
在 $v-x$ 相空间中，这代表了一个天量场。

动力学行为变成具有局部速度的相平面上的假想流线。

对每一初态 (x_0, v_0) ，可观测其如何被流携带。

画出 phase portrait 如下

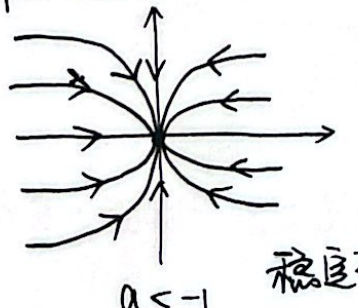
(相空间中轨迹的晶体图)



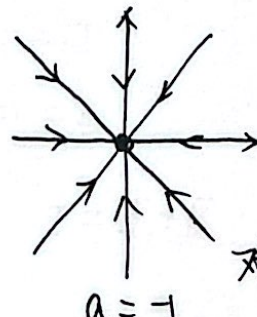
e.g. 2. uncoupled dynamics 非耦合系统

$$A = \begin{pmatrix} a & 0 \\ 0 & 1 \end{pmatrix} \Rightarrow \dot{x} = x_0 e^{at} \quad y = y_0 e^{-t}$$

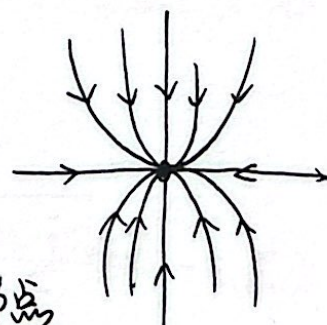
phase portrait:

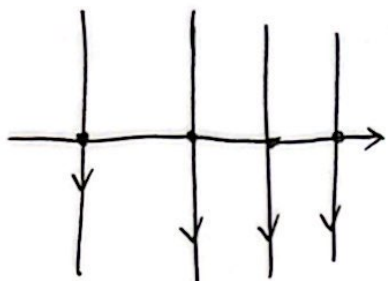


$a < -1$ 稳定节点

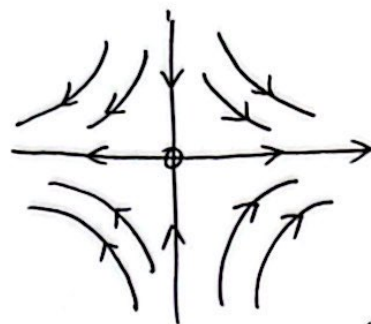


$a = -1$ 对称稳定节点





$$\alpha = 0$$



$$\alpha > 0$$

鞍點
(有穩定 & 不穩定流形)

\Rightarrow 穩定性的分类

① Attracting: $t \rightarrow \infty$ 时 附近点 $x \rightarrow x^*$ (吸引)

② Globally Attracting: $t \rightarrow \infty \quad \forall x \rightarrow x^*$ (全局吸引)

③ Lyapunov Stable: 充分接近 x^* 的 x 始终保持接近.

④ Neutrally Stable: ~~既~~ Lyapunov 穗定而不吸引 中性.

⑤ Attracting but not Lyapunov Stable



Stable / asymptotically Stable: Attracting and Lyapunov Stable
渐近

~~其余情况~~ Unstable: Neither - - -

II) General linear systems and Classification. 一般线性系统的分类

由 $\dot{\vec{x}} = A \vec{x}$ 可得 $\vec{x} = e^{\lambda t} \vec{v}_i$ \vec{v}_i 本征矢, λ_i 本征值

解本征方程 $\det(A - I) = 0 \Rightarrow \lambda^2 - \tau\lambda + \Delta = 0$

$$\tau = \text{tr}(A) -$$

$$\Delta = \det A$$

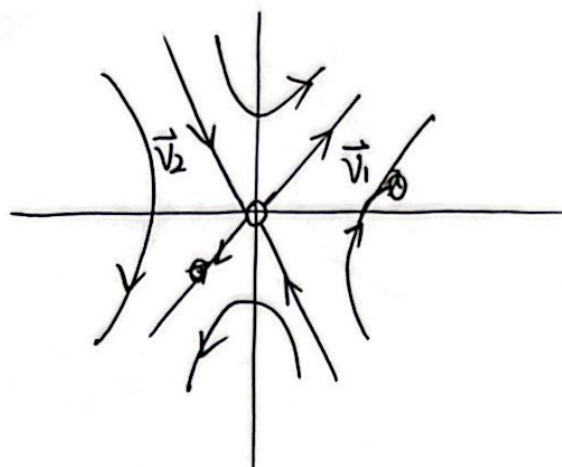
$$\lambda_{1,2} = \frac{\tau \pm \sqrt{\tau^2 - 4\Delta}}{2}$$

$$\lambda_1 + \lambda_2 = \tau \quad \lambda_1 \lambda_2 = \Delta \quad \text{进一步可得} \bar{x}, \bar{v}$$

例. $A = \begin{pmatrix} 1 & 1 \\ 4 & -2 \end{pmatrix} \Rightarrow \lambda_1=2, \lambda_2=-3, c_1=c_2=1$.

$$(\chi_0, y_0) = (2, 3) \quad \vec{v}_1 = \begin{pmatrix} 1 \\ 1 \end{pmatrix} \quad \vec{v}_2 = \begin{pmatrix} 1 \\ -4 \end{pmatrix}$$

作图

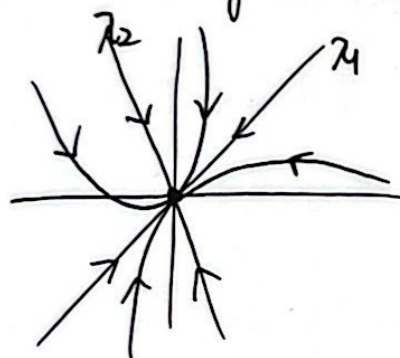


$\lambda > 0$ 时不稳

$\lambda < 0$ 时稳

不动点为鞍点

一般性 \rightarrow eg. $\lambda_2 < \lambda_1 < 0$.



轨迹通常接近与以小的方向.

例. $\lambda_{1,2}$ 为复根, $\lambda_{1,2} = \alpha \pm i\omega$. $\alpha = \frac{\tau}{2}$ $\omega = \frac{1}{2}\sqrt{4\delta - \tau^2}$

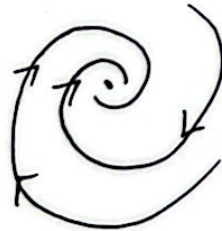
$$\vec{x} = c_1 e^{\lambda_1 t} \vec{v}_1 + c_2 e^{\lambda_2 t} \vec{v}_2.$$

① $\alpha = \operatorname{Re}(\lambda) < 0$.

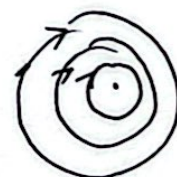
② $\alpha > 0$

③ $\alpha = 0$

Decaying oscillations



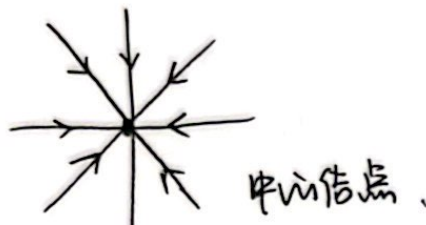
spiral 螺旋点



center 稳定中心点

例1. $\lambda_1 = \lambda_2 = \lambda$ 简并.

① \vec{v}_1, \vec{v}_2 不简并



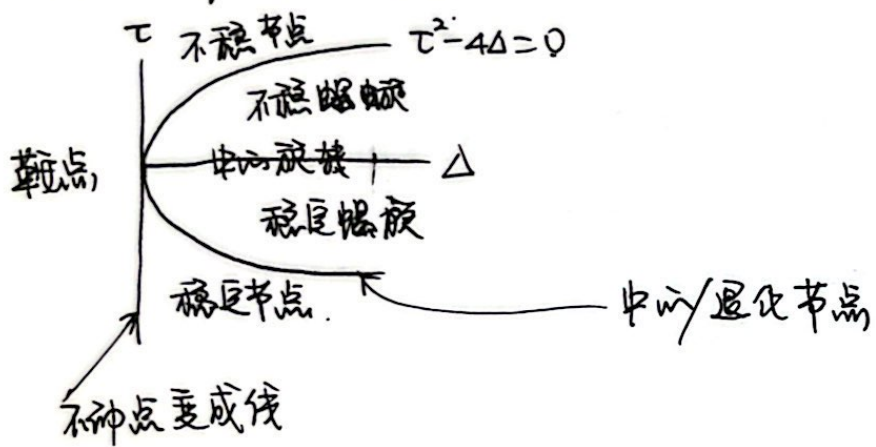
② \vec{v}_1, \vec{v}_2 简并



$t \rightarrow \infty$ 时

所有轨迹与 \vec{v} //

综上. 作 $\Delta - \tau$ 相图



由此分析系统

Lecture 5 Two-dimensional nonlinear systems

I) General property 一般属性.

在相平面上, 向量场的一般形式为

$$\begin{aligned}\dot{x}_1 &= f_1(x_1, x_2) \\ \dot{x}_2 &= f_2(x_1, x_2).\end{aligned} \Rightarrow \vec{x} = \vec{f}(\vec{x})$$

关键: 性质 ~~由~~ 行为 从 $\vec{f}(\vec{x})$ 中直接找出相轨迹.

① 不动点 fixed points $\vec{f}(\vec{x}^*) = \vec{0}$

② 闭合轨迹, closed orbits

③ 不动点与闭合轨迹附近轨迹分布

④ 不动点与闭合轨迹的稳定性.

$\vec{x} = 0$ 定义出了两条零解线 nullclines $f_1(x, y) = 0, f_2(x, y) = 0$.

零解线判定 1) 何处的流是完全垂直/平行的.

2) 将相平面分区, 不同区 \dot{x}, \dot{y} 符号不同.

II) Existence, Uniqueness, and Topological Consequences.

存在唯一性定理: 考虑初值问题 $\dot{\vec{x}} = \vec{f}(\vec{x}), \vec{x}(0) = \vec{x}_0$.

假设 \vec{f} 连续并且对其所有偏导 $\frac{\partial f_i}{\partial x_j}$, 对 \vec{x} 在某开连通集 $D \subset \mathbb{R}^n$ 上连续, 则对 $\vec{x}_0 \in D$, 初值问题在某个 $(-\tau, \tau)$ 时间间隔内存在唯一解 $\vec{x}(t)$. 即不同轨迹永不相交.

Question

- i) 闭合轨道内的轨迹如何运行?
- ii) 鞍点的不稳定性分支与稳定性分支会交叉?

III) Fixed point and Linearization

若考虑 $\dot{x} = f(x, y)$ $\dot{y} = g(x, y)$ $f(x^*, y^*) = 0$

令 $u = x - x^*$, $v = y - y^*$ (小扰动)

则 $\dot{u} = u \frac{\partial f}{\partial x} + v \frac{\partial f}{\partial y} + O(u^2, v^2, uv)$

$\dot{v} = u \frac{\partial g}{\partial x} + v \frac{\partial g}{\partial y} + O(u^2, v^2, uv)$

即 $\begin{pmatrix} \dot{u} \\ \dot{v} \end{pmatrix} = \underbrace{\frac{\partial(f, g)}{\partial(x, y)} \begin{pmatrix} u \\ v \end{pmatrix}}_{\text{微扰的演化方程.}} \quad \text{令 } A = \left. \frac{\partial(f, g)}{\partial(x, y)} \right|_{(x^*, y^*)}$

线性化系统即弱略二项.

~~这是合理的!~~

eg 1. $\dot{x} = -x + x^3$ $(x^*, y^*) = (0, 0), (1, 0), (-1, 0)$

$\dot{y} = -2y$

$$A = \begin{pmatrix} -1+3x^2 & 0 \\ 0 & -2 \end{pmatrix} \rightarrow \begin{pmatrix} -1 & 0 \\ 0 & -2 \end{pmatrix} \quad \begin{pmatrix} 2 & 0 \\ 0 & -2 \end{pmatrix}$$

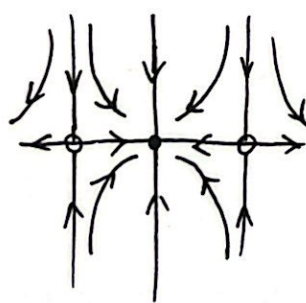
$(0, 0)$ $(\pm 1, 0)$

稳定节点

$(\pm 1, 0)$

鞍点 \Rightarrow 系统对称性

画出相图



吸引域/basin of attraction

e.g. 2. 小的非线性项将 center 变为 spiral.

$$\dot{x} = -y + \alpha x(x^2 + y^2)$$

$$\dot{y} = x + \alpha y(x^2 + y^2)$$

$$(x^*, y^*) = (0, 0) \Rightarrow A = \begin{pmatrix} 0 & -1 \\ 1 & 0 \end{pmatrix}$$

\Rightarrow A. (0,0) 为 center 点,

是否正确?

设 $x = r \cos \theta$, $y = r \sin \theta$. 有

$$\begin{cases} \dot{r} = \alpha r^3 \\ \dot{\theta} = 1 \end{cases}$$

实际上仅在 $\alpha=0$ 时成立为 center 点,

这说明线性近似对节点 (saddle, node or spiral) 判断可行.

但对临界情况 (centers, degenerate nodes, stars
non-isolated fixed points)

判断需谨慎.

center: 只是 stars, deg... nodes 稳定性不受
小的非线性项影响

▷ 如果我们只对稳定性 stability 感兴趣.

robust case: ① repeller (原) $\operatorname{Re}(\lambda_{1,2}) > 0$

② attractor (汇) $\operatorname{Re}(\lambda_{1,2}) < 0$.

③ saddles (鞍) $\operatorname{Re}(\lambda_{1,2}) \lambda_1 < 0, \lambda_2 > 0$ or 反之

marginal case: ① centers $\operatorname{Re}(\lambda_{1,2}) = 0$

② non-isolated fixed points $\lambda_{1,2} = 0$

▷ Hyperbolic Fixed Points 双曲不动点, Topological Equivalence 拓扑等价
Structural Stability 结构稳定性.

Hy... s: $\operatorname{Re}(\lambda_i) \neq 0$. \Rightarrow 稳定性不变小非线性项影响

No hy ... 至少存在一个 λ , $\operatorname{Re}(\lambda) = 0$. \downarrow 反之.

Hartman-Grobman theorem:

双曲不动点附近的相图在拓扑上线性化后等价(同胚).

structurally stable: 拓扑不因小非线性项改变.

spiral \Leftrightarrow node

e.g. 种间竞争, 羊与兔.

Lotka-Volterra model $\dot{x} = rx(1 - \frac{x}{K})$.

Assumption: ① 无对方时增长至承载量 (Logistic growth)

② 牲畜发病率 α 随规模

牲畜对兔影响更大

$$\begin{aligned}\dot{x} &= x(3-x-2y) & \bar{x} \\ \dot{y} &= y(2-x-y) & \text{羊} \end{aligned} \quad \Rightarrow A = \begin{pmatrix} 3-2x-2y & -2x \\ -y & 2-x-2y \end{pmatrix}$$

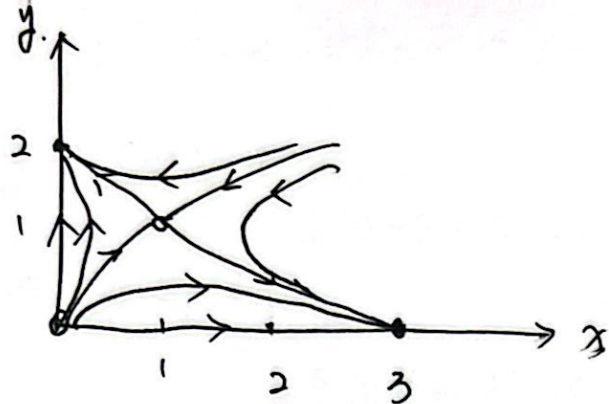
$$(x^*, y^*) = (0, 0) \quad A = \begin{pmatrix} 3 & 0 \\ 0 & 2 \end{pmatrix} \quad \text{unstable node. } \vec{v} = (0, 1) \quad \lambda = 2$$

$$(0, 2) \quad A = \begin{pmatrix} -1 & 0 \\ -2 & -2 \end{pmatrix} \quad \text{stable node. } \vec{v} = (1, -2) \quad \lambda = 1$$

$$(3, 0) \quad A = \begin{pmatrix} -3 & -6 \\ 0 & -1 \end{pmatrix} \quad \text{stable node. } \vec{v} = (3, -1) \quad \lambda = -1$$

$$(1, 1) \quad A = \begin{pmatrix} -1 & -2 \\ -1 & -1 \end{pmatrix} \quad \lambda = -1 \pm \sqrt{2} \text{ saddle. } \vec{v}$$

从而



- 城边界为鞍点稳定分支
- (分界 separatrix)
- 划分了长期行为分类边界

结论. 种间竞争导致无法共存.

- 吸引域 \bar{x}_0 that $\bar{x}(t) \rightarrow x^*$, 为 $t \rightarrow \infty$.

IV) Conservative and dissipative systems 保守和耗散系统

对保守系统 Conservative system: $m\ddot{x} + \frac{dV}{dx} = 0$.

$$\Rightarrow \frac{d}{dt} \left[\frac{1}{2} m\dot{x}^2 + V(x) \right] = 0. \quad \text{令 } E = \frac{1}{2} m\dot{x}^2 + V(x), \text{ 守恒.}$$

即保守系统为保守量存在的系统

\therefore 给出 $\vec{x} = \vec{f}(\vec{x})$, 则对应的保守量为 $E(\vec{x})$.

在每条轨迹上, $\frac{dE}{dt} = 0$

对相空间来说 $\frac{dV}{dt} = \int \vec{F} \cdot d\vec{S} = \iint (\nabla \cdot \vec{F}) dV \quad \vec{F} = \begin{pmatrix} \dot{x} \\ y \end{pmatrix} = \vec{v}$

$\nabla \cdot \vec{v} = 0 \Rightarrow$ 保守系统 (雅可比行列式) ($\nabla \cdot \vec{v} = \sum \frac{\partial \dot{x}_i}{\partial x_i}$)

$\nabla \cdot \vec{v} > 0 \Rightarrow$ 扩展系统

$\nabla \cdot \vec{v} < 0 \Rightarrow$ 耗散系统

e.g. = 雅系统, 若 $\nabla \cdot \vec{v} = 0 \Rightarrow \frac{\partial f}{\partial x} + \frac{\partial g}{\partial y} = 0$. 其中 $\vec{v} = (f, g)$

\therefore 对高维系统同理.

e.g. 植物映射, $x_{n+1} = A - Bx_n - x_n^2$

$$y_{n+1} = x_n$$

$$\Rightarrow |J| = B.$$

$B=1$ 时为保守系统

$$\textcircled{8} \quad \begin{pmatrix} \dot{x} \\ \dot{y} \end{pmatrix} = \begin{pmatrix} a & b \\ c & d \end{pmatrix} \begin{pmatrix} x \\ y \end{pmatrix}$$

$$\text{则 } \nabla \cdot \vec{F} = a+d \quad \nabla \times \vec{F} = (c-b) \hat{z}$$

鞍点：散度可有可无，旋度可有可无。

结点：有散度

螺旋点：有散度、有旋度 中心点：无散度、有旋度

$$\text{例} \quad V(x) = -\frac{1}{2}x^2 + \frac{1}{4}x^4 \Rightarrow \ddot{x} = x - x^3$$

$$\therefore \begin{cases} \dot{x} = y \\ \dot{y} = x - x^3 \end{cases} \quad (x^*, y^*) = (0, 0), (\pm 1, 0)$$

$$A = \begin{pmatrix} 0 & 1 \\ -3x^2 & 0 \end{pmatrix}$$

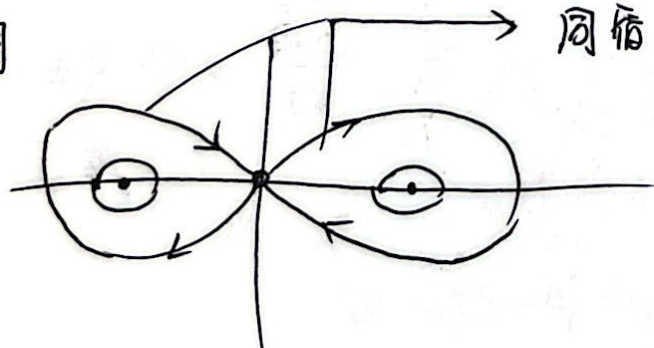
$$(0, 0) \quad \Delta = -1 \quad \text{鞍点}$$

$$(\pm 1, 0) \quad \tau = 0 \quad \Delta = 2 \quad \text{中心点}$$

$$\therefore \nabla \cdot \vec{F} = 0 \quad \therefore \text{能量守恒}$$

$$E = \frac{1}{2}y^2 - \frac{1}{2}x^2 + \frac{1}{4}x^4 = \text{const.}$$

画出相图



同宿轨道 Homoclinic orbits.

有同一起始结束点而不同布
(非周期, $t \rightarrow \infty$)

异宿轨道 Heteroclinic orbit

起始于一个焦点，结束于另一个焦点的不同的轨道。
(示称鞍形连接)

V) 2D dynamics 通过 potential

$$\ddot{\vec{x}} = \vec{f}(\vec{x}) \quad \dot{\vec{x}} = -\nabla V \Rightarrow \begin{aligned}\dot{x}_1 &= -\frac{\partial V(\vec{x})}{\partial x_1} \\ \dot{x}_2 &= -\frac{\partial V(\vec{x})}{\partial x_2}\end{aligned}$$

$$dV(\vec{x}) = -f_1(\vec{x})dx_1 - f_2(\vec{x})dx_2$$

即 $\frac{\partial f_1}{\partial x_2} = \frac{\partial f_2}{\partial x_1}$. \leftrightarrow 流有势 (梯度系统)

轨道沿梯度下降

$$\text{eg } \dot{q}_1 = -\alpha q_1 - \beta q_1(q_1^2 + q_2^2)$$

$$\dot{q}_2 = -\alpha q_2 - \beta q_2(q_1^2 + q_2^2) \quad \beta > 0$$

$$\Rightarrow V(\vec{q}) = \frac{\alpha}{2}(q_1^2 + q_2^2) + \frac{1}{4}\beta(q_1^2 + q_2^2)^2.$$

$\alpha < 0$ 时出现“膝盖”

$$\text{双曲: } V = x_1^3 + x_2^3 + w x_1 x_2 - u x_1 - v x_2$$

$$\text{椭圆: } V = x_1^3 - 3x_1 x_2^2 + w(x_1^2 + x_2^2) - u x_1 - v x_2$$

$$\text{抛物: } V = x_1^2 x_2 + w x_2^2 + x_2^3 - u x_1 - v x_2 + \frac{1}{4}(x_1^4 + x_2^4)$$

$$\xrightarrow{\text{高维}} V(\vec{x}), \quad \frac{\partial f_i}{\partial x_j} = \frac{\partial f_j}{\partial x_i}$$

VII) Vector field decomposition 矢量场分解.

对非梯度系流. $\vec{x} = \vec{F}(\vec{x}) = \vec{F}_g(\vec{x}) + F_c(\vec{x})$

$$\vec{F}_g = -\nabla V(\vec{x}) \quad \nabla \times \vec{F}_g = 0 \quad \text{有源无旋}$$

$$\Phi \nabla \times \vec{F}_c \neq 0 \quad \nabla \cdot \vec{F}_{gc} = 0 \quad \text{无源有旋}$$

分解齐唯一 $\xrightarrow{\text{正交性}} \vec{F}_c \cdot \vec{F}_g = 0$

\triangleright 二阶残性系流

$$\dot{\vec{x}} = \begin{pmatrix} a & b \\ c & d \end{pmatrix} \vec{x} = \begin{pmatrix} a & r \\ r & d \end{pmatrix} \begin{pmatrix} x \\ y \end{pmatrix} + \begin{pmatrix} 0 & b-r \\ c-r & 0 \end{pmatrix} \begin{pmatrix} x \\ y \end{pmatrix}$$

$$V(x, y) = -\frac{1}{2}ax^2 - rxy - \frac{1}{2}dy^2$$

$$\text{此时 } \vec{F}_c = ((b-r)y, (c-r)x)$$

$$\vec{F}_g = (ax+ry, rx+dy)$$

$$\Rightarrow a(b-r)xy + r(b-r)y^2 + r(c-r)x^2 + d(c-r)yx = 0$$

$$-(x+y)r^2 + [cx+by - (a+d)xy]r + (ab+cd)xy = 0$$

\triangleright 二阶非残性 \Rightarrow 自行分解.

VIII) Deterministic motion Liouville equation.

确定性运动



$$\dot{\vec{x}} = \vec{F}(\vec{x}, t)$$

Langevin

Fokker- Planck

之方程

· 列维-布方程

$$\frac{\partial p(\vec{x}, t)}{\partial t} = - \sum \frac{\partial}{\partial x_i} F_i \underbrace{p(\vec{x}, t)}_{\text{Flux 通量}}$$

$$\xrightarrow{\text{解}} p(\vec{x}, t) = \delta(x_1 - x_1(t)) \delta(x_2 - x_2(t))$$

$x_1(t), x_2(t)$ 由 \vec{F} 决定.

· 阿方方程. $\dot{\vec{x}} = \vec{F}(\vec{x}, t) + \vec{g}(t)$

$$\langle g(t) g(t') \rangle = 2D \delta(t-t') \quad \text{Gaussian 白噪声}$$

· 福柯-普朗克方程 概率通量 $\vec{J} = \vec{F}p - D \nabla p$ ④

则 $\frac{\partial p}{\partial t} = -\nabla \cdot \vec{J}$

扩散态的同性

稳态解 stationary solution $p_{ss}(\vec{x})$: $\frac{\partial p_{ss}}{\partial t} = -\nabla \cdot \vec{J}_{ss} = 0$.

力可定义为 $\vec{F} = (D \nabla p_{ss}(\vec{x}) + \vec{J}_{ss}) / p_{ss}$

$$= D \nabla \ln p_{ss} + \frac{\vec{J}_{ss}}{p_{ss}}$$

> 稳态平衡 $J_{ss} = 0$ (稳态) $\vec{F} = D \nabla \ln p_{ss} = -\nabla V(\vec{x})$

从而 非平衡势 $V(x) = -D \ln p_{ss}$

此时满足 $\frac{\partial f_1}{\partial x_1} = \frac{\partial f_2}{\partial x_1}$

> $J_{ss} \neq 0$ 不能达到稳态平衡

$$\vec{F} = D \nabla \ln p_{ss}(x) + \vec{j}_{ss} / p_{ss}$$

$$= - \nabla U(\vec{x}) + \vec{F}_{\text{curl}}$$

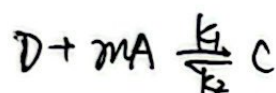
↓ ↳ rotational flux 环通量

potential landscape

可见，稳态概率分布只要 \vec{F} 拆分合理，是可以得到的，
只是 \vec{F}_{curl} 的存在使得细致平衡无法达到

III) 应用. 基因插入函数

① A, B, C, D repressor \rightarrow gene X



$$\begin{cases} \dot{C} = k_1 DA^m - k_2 C \\ \dot{D} = -\dot{C} \end{cases} \quad D + C = D_T$$

$$\because V_{\text{binding}} \gg V_{\text{transcription}} \Rightarrow \begin{cases} C = D_T \frac{A^m}{\theta_A^m + A^m} \\ D = D_T - C = \frac{\theta_A^m}{\theta_A^m + A^m} \end{cases} \quad \text{Hill func}$$

$$\theta_A = \left(\frac{k_2}{k_1}\right)^{\frac{1}{m}}$$

$$\therefore \frac{dM}{dt} = \alpha_0 D + \alpha_1 C - \gamma_M M \quad \hookrightarrow \text{decays}$$

$$\text{when } C \text{ activator} \quad \alpha_1 \gg \alpha_0 \quad k_0 = \alpha_0 D_T \quad k_1 = (\alpha_1 - \alpha_0) D_T$$

$$\frac{dM}{dt} = k_0 + k_1 \frac{A^m}{\theta_A^m + A^m} - \gamma_M M$$

$$\text{when } C \text{ repressor} \quad \alpha_1 \ll \alpha_0 \quad k_0 = \alpha_1 D_T \quad k_1 = (\alpha_0 - \alpha_1) D_T$$

k_0 表示本征/基础速率

② Transcription

$$\dot{P} = k_2 M - \gamma_p P$$

\hookrightarrow decay

$$\because \gamma_m \gg \gamma_p, \quad \frac{dM}{dt} = 0 \quad (\text{稳态})$$

$$\dot{P} = \tilde{k}_0 + \tilde{k}_1 \frac{A^m}{\theta_A^m + A^m} - \gamma_p P \quad (\text{activator})$$

$$\tilde{k}_0 = \frac{k_2 k_0}{\gamma_m} \quad \tilde{k}_1 = \frac{k_2 k_1}{\gamma_m}$$

③ TF X 的 inducer S.

$$S + X \xrightleftharpoons[k_-]{k_+} X_S \quad nX_S + D \xrightleftharpoons[k_{off}]{k_{on}} C$$

$$X_S = X_T \cdot \frac{s/k_s}{1+s/k_s} = \frac{X_T s}{s+k_s} \quad k_s = \frac{k_+}{k_-}$$

$$X = \frac{X_T k_s}{s+k_s} = X_T - X_S$$

$$X: \text{activator: } \frac{dM}{dt} = a + b \frac{X_S^n}{K_D + X_S^n} - cM$$

$$K_D = \frac{k_{off}}{k_{on}}$$

$$\text{repressor: } \frac{dM}{dt} = a + b \frac{k_D}{K_D + X_S^n} - cM$$

④ 高维

i) X、Y (TF) 独立.

$$\dot{M} = a + \text{四项} - cM$$

↑ 反馈 - . 取决于 X、Y 产量

ii) $X, Y(TF)$ 竞争性结合

⑩ IX) Index theory 指标理论

闭合曲线 closed curve 的指数 $I_C = \frac{1}{2\pi} \oint_C \psi =$ 不闭点个数

ψ 为 天量且时针沿曲线一圈变化的角度

① 若 C 拓扑不变，指标

② 不包含 (x^*, y^*) 的 index = 0

③ 时间反演不变

④ 若 C 为闭合轨迹 index = 1

↑
螺旋、中心、星。 degenerate node, (退化结点)

Lecture 6. Limit cycle 极限环

1) Definition and property.

定义. Isolated closed trajectory 孤立闭合轨迹

孤立闭合轨迹

附近轨迹不闭合

/ stable



\ unstable



- half-stable



极限环会表现出无周期性情况下周期振荡

- robust

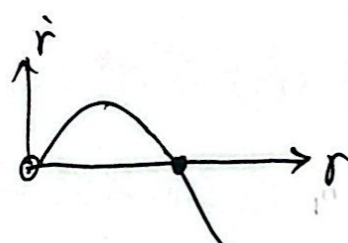
极限环不出现在混沌系统中，否则不 isolated

e.g. $\dot{x} = \alpha x$ 与 $c\bar{x}$

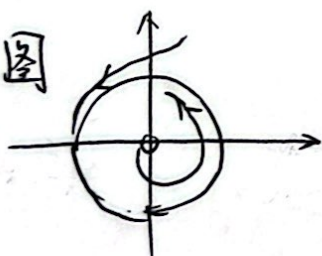
- 不由初态决定

e.g. $\dot{r} = r(r - r^*)$

$r = 1$



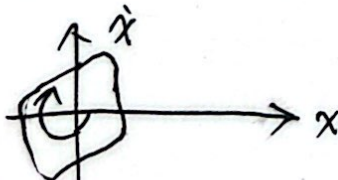
相图



e.g. Van Der Pol oscillator

$$\ddot{x} + \mu(x^2 - 1)\dot{x} + x = 0.$$

相图



II) Ruling out closed orbits.

① 利用 index

必要条件. $\text{index} = 1$

无轨道交叉

② Gradient Systems 梯度系统 $\dot{\vec{x}} = -\nabla V(\vec{x})$ 不存在 closed orbit

注意, 梯度系统 \neq 保守系统

$$\dot{\vec{x}} = -\nabla V(\vec{x}) \quad \ddot{\vec{x}} = -\nabla^2 V(\vec{x})$$

③ Lyapunov Functions.

若虚 $\dot{\vec{x}} = \vec{f}(\vec{x})$, $\vec{f}(\vec{x}^*) > 0$.

若存在连续可微实函数 $V(u)$,

$$\forall \vec{x} \neq \vec{x}^*, \quad V(\vec{x}) > 0$$

则 \vec{x}^* 全局稳定.

$$\emptyset \quad \dot{V}(\vec{x}) < 0.$$

$$t \rightarrow \infty \text{ 时 } \vec{x}(t) \rightarrow \vec{x}^* \quad \text{①}$$

Lyapunov 系统可沿任何想能降低路径下降. 不存在 closed orbit.

$$\text{eg. } \begin{cases} \dot{x} = -x + 4y \\ \dot{y} = -x - y^3 \end{cases}$$

$$V(x, y) = x^2 + ay^2$$

$$\dot{V}(x, y) = -2x^2 + (8-2a)xy - 2ay^4$$

$$\xrightarrow{a=4} \dot{V} = -2x^2 - 8y^4.$$

④ Dulac's Criterion 杜拉克标准

若可找到 $g(\vec{x})$, s.t $\nabla \cdot (g\vec{f})$ 在 R 上符号不变,

则 closed orbits 不存在.

$$\oint_A \nabla \cdot (g\dot{\vec{x}}) dA = \oint_C g\dot{\vec{x}} \cdot \hat{n} dl = 0$$

⊗ #

→

$$\text{og. } \dot{x} = x(2-x-y)$$

$$\dot{y} = y(4x-x^2-3).$$

$$\text{og. } \dot{x} = y$$

$$\dot{y} = -x - y + x^2 + y^2$$

$$\text{令 } g = \frac{1}{xy}$$

$$\text{令 } g = e^{-2x}$$

$$\nabla \cdot (g\dot{\vec{x}}) = -\frac{1}{y} < 0.$$

$$\nabla \cdot (g\dot{\vec{x}}) = -e^{-2x} < 0.$$

III) Poincare - Bendixson Theorem 庞加莱-本迪克斯定理

1) R 是平面的闭边界子集

2) $\dot{\vec{x}} - \vec{f}(\vec{x})$ 是包含 R 的开集上的连续可微向量场

3) R 不包含任何不动点

4) 存在 C , 在 R 中开始, $t \rightarrow$ 在 R 中 (即在 R 中闭合)

$\Rightarrow R$ 中包含 closed orbit

\hookrightarrow Trapping region 捕捉区

$$\text{eg. } \dot{r} = (1-r^2)r + \mu r \cos \theta$$

$$\dot{\theta} = 1$$

$$\Rightarrow R \text{ 为 } 0.999\sqrt{1+\mu} < r < 1.001\sqrt{1+\mu}.$$

例、通过不神点区域检查寻找数据区。

$$\dot{x} = -x + ay + x^2y$$

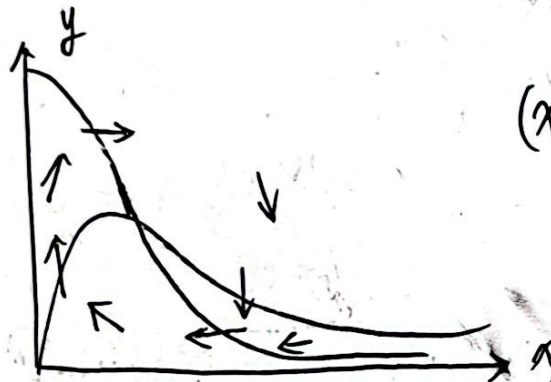
$$\dot{y} = b - ay - x^2y$$

$$\dot{x}=0 \quad y = \frac{x}{a+x^2}$$

$$a, b > 0.$$

$$\dot{y}=0 \quad y = \frac{b}{a+x^2}$$

画出相图



$$(x^*, y^*) = (b, \frac{b}{a+b^2})$$

不神点为非原点 \rightarrow 考虑 PB Theorem

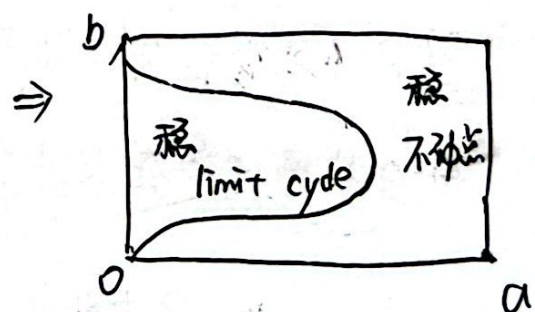
$$A = \begin{pmatrix} -1+2xy & 0+x^2 \\ -2xy & -(a+x^2) \end{pmatrix}$$

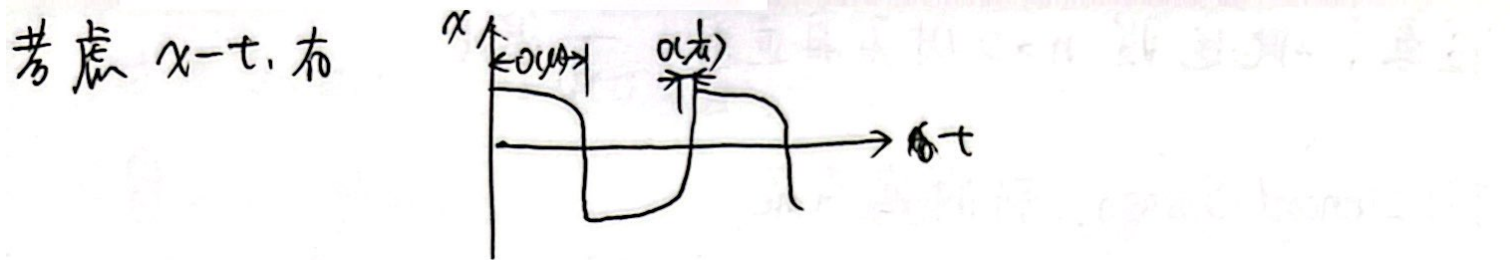
$$\Delta = a+b^2 > 0$$

$$\tau = \frac{b^4 + (2a-1)b^2 + (a+a^2)}{a+b^2}.$$

$$\tau=0 \quad \therefore b^2 = \frac{1}{2}(1-2a \pm \sqrt{1-8a})$$

$$\Rightarrow a=0.08, b=0.6$$





$$\dot{x} = 0 \text{ 时 } y \sim F(x) . \quad \dot{y} = F'(x) \dot{x} = (x^2 - 1) \dot{x} = -\frac{x}{\mu}$$

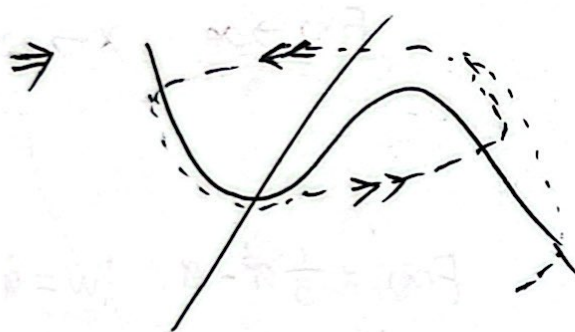
$$\Rightarrow T = \mu [3 - 2 \ln 2] \approx \sim 0(\mu)$$

VI) Excitability & Canard explosion 兴奋与金丝雀爆炸

- FitzHugh-Nagumo 模型

$$\dot{x} = x - \frac{1}{3}x^3 - y$$

$$\dot{y} = \varepsilon(x - ay - b) \quad 0 < \varepsilon \ll 1 \quad \text{兴奋性可用 } \frac{1}{\varepsilon} \text{ 表征}$$

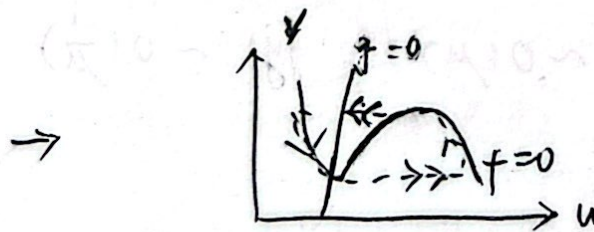


类似于上面的 ~~激动振荡~~
但快慢置换了. why

- General form for Excitability system

$$u: \text{trigger variable} \quad \partial_t u = \frac{1}{\varepsilon} f(u, v) + D_u \nabla^2 u$$

$$v: \text{recovery variable} . \quad \partial_t v = g(u, v) + D_v \nabla^2 v$$



注意！此道理 $n > 2$ 时不再适用 — 混沌

IV) Lienard System 利纳德系统

范德波尔振荡器 $\ddot{x} + \mu(x^2 - 1)\dot{x} + x = 0$

Lienard's equation $\ddot{x} + f(x)\dot{x} + g(x) = 0$
摩擦力 矫恢复力

若 f, g 对 x 连续可微

2) g 为奇函数

3) $x > 0 \Rightarrow g(x) > 0$

4) f 为偶函数.

5) $F(x) = \int_0^x f(u) du$. 有 $x^* = a > 0$.

$F(x) < 0 \quad x \in (0, a)$

$F(x) > 0 \quad x \in (a, \infty)$

$F(x) \rightarrow \infty \quad x \rightarrow \infty$

则 极限环 ✓

V) 欠阻尼 (失稳性)

$$\ddot{x} + \mu \dot{x}(x^2 + 1) = \frac{d}{dt}(\dot{x} + \mu(\frac{1}{3}x^3 - x))$$

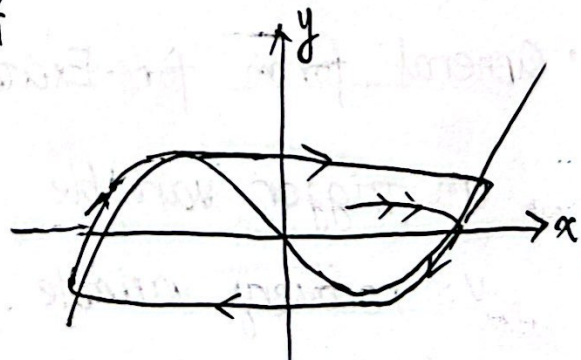
$$F(x) = \frac{1}{3}x^3 - x. \quad w = \dot{x} + \mu F$$

$$\begin{cases} \dot{x} = w - \mu F(x) \\ \dot{w} = -x \end{cases}$$

$$令 y = \frac{w}{\mu}$$

$$\begin{cases} \dot{x} = \mu [y - F(x)] \\ \dot{y} = -\frac{1}{\mu}x \end{cases}$$

— 负的相图
 $\mu > 1$



此时 $y \sim O(1)$ $|x| \sim O(\mu)$ $|y| \sim O(\frac{1}{\mu})$

#

对于 $u=u(t)$, $v=v(t)$, 有

$$\epsilon \frac{du}{dt} = f(u, v)$$

$$\frac{dv}{dt} = g(u, v)$$

$\epsilon \ll 1$

要求 ① 非线性系统

② 两种非常不同的时间尺度

特点 ① 只有一种稳态, 被扰小微扰

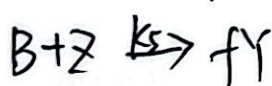
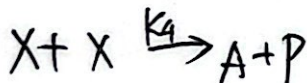
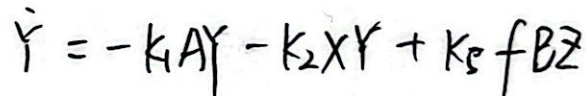
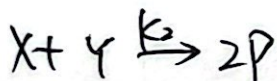
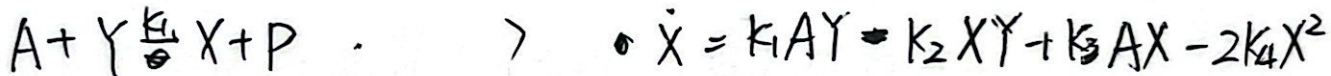
② 存在阈值, 超过阈值系统被激发

③ 恢复稳态需要弛豫时间 (不应期)

小振幅振荡 \leftrightarrow 弛豫振荡

"N" + "/"

eg. BZ 反应



$$\text{取 } \tau = \frac{t}{T} \quad x = \frac{X}{X_0} \quad y = \frac{Y}{Y_0} \quad z = \frac{Z}{Z_0}$$

无量纲化 $\frac{dz}{d\tau} = x - z$

$$T = \frac{1}{k_5 B} \quad X_0 = \frac{k_1 A}{2k_4} \quad Y_0 = \frac{k_1 A}{k_5}$$

$$\epsilon_1 \frac{dx}{d\tau} = x - x^2 - y(x - y)$$

$$\epsilon_1 = \frac{k_5 B}{k_3 A} \quad q = \frac{2k_1 k_4}{k_2 k_3}$$

$$\epsilon_2 \frac{dy}{d\tau} = -qy - xy + fz$$

$$\epsilon_2 = \frac{2k_4 k_5 B}{k_2 k_3 A}$$

由数据 $\varepsilon_1 \sim 10^{-3}$ $\varepsilon_2 \sim 10^{-4}$ 故 $\frac{d\theta}{dt} = 0$ 最快.

$$\Rightarrow y = f^2/(g+x)$$

$$\Rightarrow \begin{cases} \varepsilon_1 \frac{dx}{dt} = x - x^2 - f^2 \frac{z-g}{x+g} \\ \frac{dz}{dt} = x - z \end{cases}$$

化学波 Oregonator

此时, 若因 x 平衡速度快于 z , 使 $\frac{dx}{dt} = 0$

兴奋性质引发波传播.

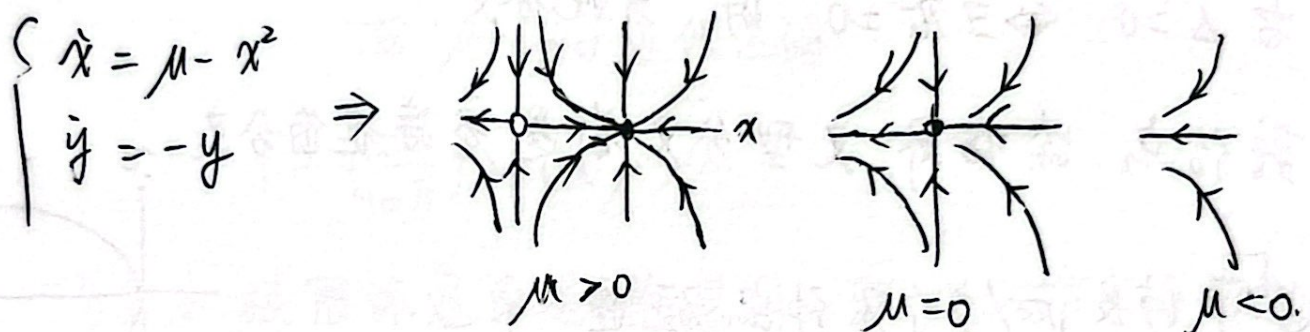
Lecture 7. Bifurcation in 2D systems

不稳点 / 闭合轨 / 轨道连结 / 故 / 稳性改变

I) Saddle - Node, Transcritical & Pitchfork Bifurcation.

~~鞍~~ 点, 跨临界和叉型分岔.

Saddle - Node Bifurcation 鞍点分岔.



高维分岔一定是在某个子空间(一维)上的分岔

额外维度的流动来自子空间的简单吸引(排斥).

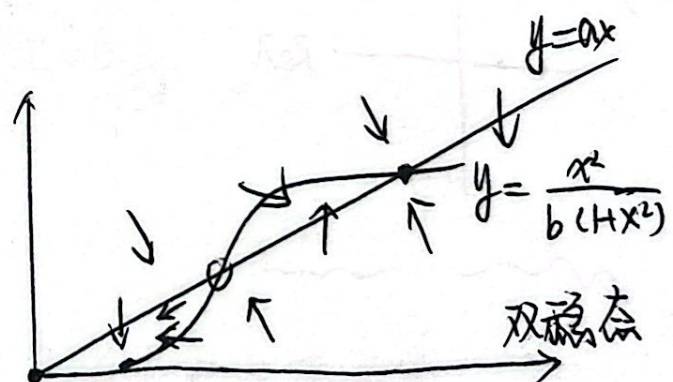
e.g. Genetic switch

$$\dot{x} = -ax + y$$

mRNA

$$\dot{y} = \frac{x^2}{1+x^2} - by$$

protein.



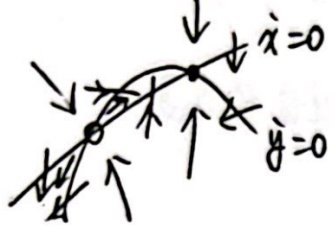
$$x^* = \frac{1 + \sqrt{1 - 4a^2 b^2}}{2ab}$$

$$\lambda_c = \frac{1}{2b}$$

$$A = \begin{pmatrix} -a & 1 \\ \frac{2x}{(1+x^2)^2} & -b \end{pmatrix}$$

$$\text{分歧点 } x=1 \quad \Delta=0$$

对一般情况 $\dot{x} = f(x, y)$ $\dot{y} = g(x, y)$



两虚解线两交点 \rightarrow 一稳/不稳焦点 + 一鞍点.
即分岔图两支均可能不稳定.

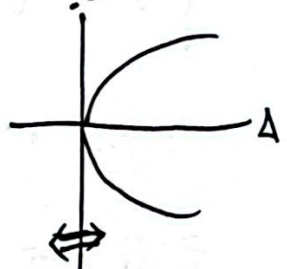
更多的... 例一分岔条件满足 $\Delta=0$.

口 鞍特征值分叉.

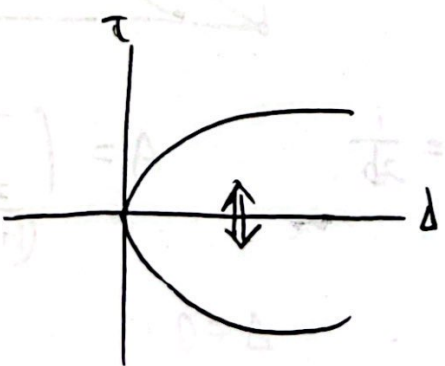
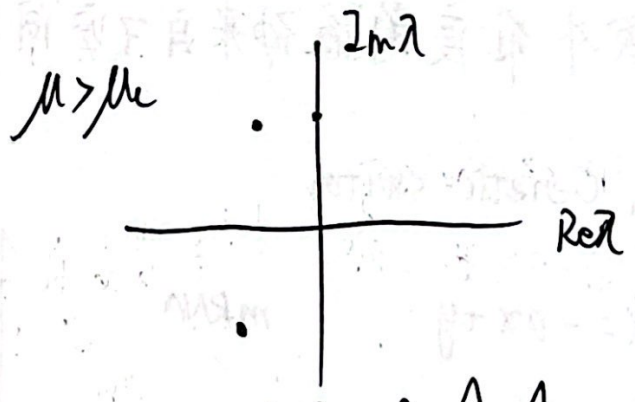
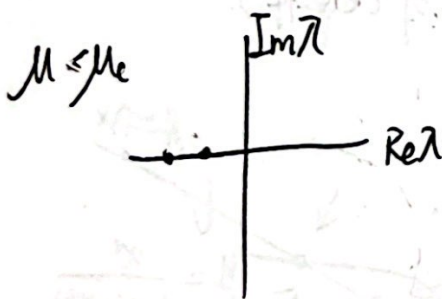
当 $\Delta=0 \Leftrightarrow \exists \lambda_i=0$ 时. 出现分叉.

鞍点, 跃临界, 叉型分叉都是鞍特征值分叉

曲线涉及两个/多个不神点碰撞.



Ⅲ Hopf Bifurcation 霍普夫分叉.



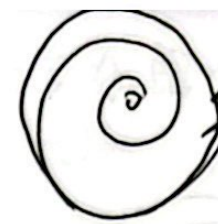
稳定性改变

$\tau=0 \quad \Delta>0$

eg. $\dot{r} = \mu r - r^3$
 $\dot{\theta} = \omega + br^2$

$$\mu < 0$$

$$\mu > 0$$



极限环
(稳定)

$$A = \begin{pmatrix} \mu - \omega & 0 \\ 0 & \mu \end{pmatrix}$$

— 超临界 Hopf 分叉.

特征: 极限环 $\propto \sqrt{\mu - \mu_c}$ 的速度增大. 在 $\mu \sim \mu_c$ 时

其频率近似由 $\omega = \sqrt{\Delta}$ 给出, $= \text{Im} \lambda$. 在 $\mu = \mu_c$ 时精确.

在 $\mu \sim 0(\mu_c)$ 近似正确.

$$\therefore T = \left(\frac{2\pi}{\text{Im} \lambda} \right) + O(\mu - \mu_c)$$

分叉处极限环通常呈椭圆形. 随 $\mu - \mu_c$ 增大而扭曲.

参数变化时, $\frac{d(\text{Re} \lambda)}{d\mu} \neq 0$.

Question. 若 μ_c 处 $\frac{d(\text{Re} \lambda)}{d\mu} = 0$ 会发生什么? 无实部, $\Delta = 0$ 是

如何找到 μ_c ? $\tau = 0$

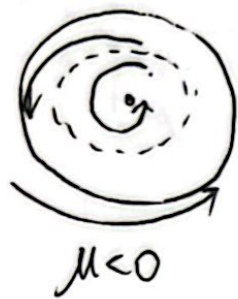
· 次临界 Hopf 分叉.

稳定性突变 (因分叉) 可能导致实际应用中的危险.

必须跳到某吸引子 (不神点, 极限环, 无穷大, 混沌吸引子)

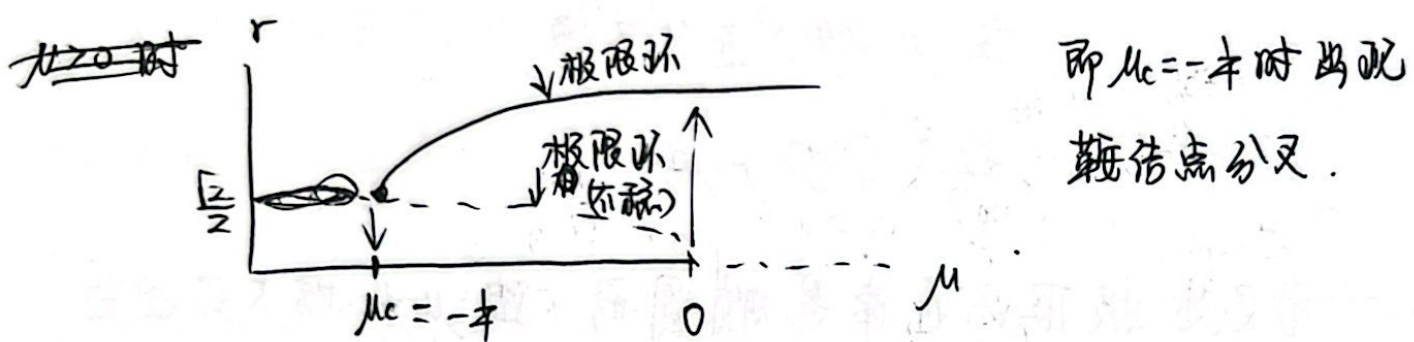
eg. $\begin{cases} \dot{r} = \mu r + r^3 - r^5 \\ \dot{\theta} = \omega + br^2 \end{cases} \rightarrow$ 三项是不稳定的, 驱神轨迹远离原

(0,0) 点的分叉:



不稳定的吸引分支原点稳定.

Hysteresis 迟滞现象: 出现在调参在分叉点前后时, 如下.



② 以临界 Hopf 分叉: 稳定不动点失稳, 不稳定极限环消失, $\mu_c=0$

▷ 如何判定 Hopf 分叉 以 μ 起

① 线性化分析不提供信息 (特征值实部的正负区别)

② 快速方法: 计算机

③ 若不动点失稳后 极限环从 0 开始增大 \rightarrow 是

否则可被 ~~判别~~ 为否. 参看反转引发滞后.

• 退化 Hopf 分叉 一本征值虽通过虚轴, 不动点失稳,

但并不伴随着极限环的产生或消失.

(分叉两边都设有极限环)

eg. 阻尼摆 damped pendulum $\ddot{x} + \mu\dot{x} + \sin x = 0$

$$\Rightarrow \begin{cases} \dot{x} = y \\ \dot{y} = -\sin x - \mu y \end{cases} \xrightarrow{(0,0)} \begin{cases} \mu > 0 & \text{globally stable} \\ \mu < 0 & \text{unstable} \\ \mu = 0 & \text{nonlinear center, 非线性中心} \end{cases}$$

考虑拉格拉格量 $g(x, y) = 1$.

$$\nabla \cdot (g \vec{F}) = -\mu \Rightarrow \text{不存在 closed orbits (除非 } \mu = 0)$$

$$\text{eg. } \begin{cases} \dot{x} = \mu x - y + xy^2 \\ \dot{y} = x + \mu y + y^3 \end{cases} \xrightarrow{* (0,0)} A = \begin{pmatrix} \mu & -1 \\ 1 & \mu \end{pmatrix} \quad \begin{cases} \tau = 2\mu \\ \Delta = \mu^2 + 1 > 0 \end{cases} \quad \pi = \mu \pm i$$

$$\text{Hopf 分叉: } \tau = 0 \Rightarrow \mu_c = 0 \quad \frac{\mu < 0 \rightarrow \mu > 0}{\text{螺旋} \rightarrow \text{不稳定的}} \quad \text{螺旋}$$

$\because \mu > 0$. 由上, 不存在闭合轨道, 原点不为非线性中心点,

$$\text{而 } \Delta \tau \sim \mu e^{\mu t} \gg 0(\mu) \quad \dot{r} = \frac{\dot{x}\dot{y} + \dot{y}\dot{x}}{r} = \frac{2\mu xy + (\frac{2}{3}y^3) \cdot y^2}{r} = 2\mu r \sin \theta \cos \theta + r^3 \sin^2 \theta$$

又可知分叉不能退化,
 $\mu < 0$ 时存在极限环.

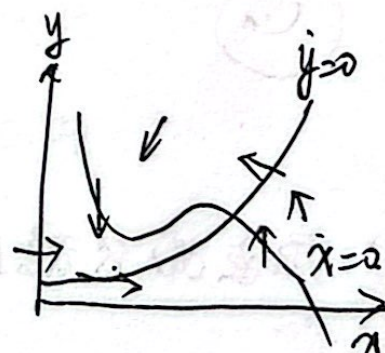
例). $(\text{ClO}_2 - I_2 - MA)$ 反应,

$$\dot{x} = a - x - \frac{4xy}{1+x^2} \quad \dot{x}=0 \quad y = \frac{(a-x)(1+x^2)}{4x} \quad \text{相图}$$

$$\dot{y} = bx \left(1 - \frac{y}{1+x^2}\right) \quad \dot{y}=0 \quad y = 1+x^2$$

$$\xrightarrow{*} \left(\frac{a}{5}, 1 + \frac{a^2}{5}\right) \quad \text{稳定点}$$

$$\Delta = \frac{5bx^*}{1+(x^*)^2} > 0 \quad \tau = \frac{3(x^*)^2 - 5 - bx^*}{1+(x^*)^2}$$



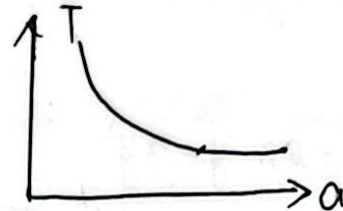
考慮 Fixed point 需要為排斥點 repellor 而非鞍點 saddle.

這樣可形成极限环, $\Rightarrow \tau > 0 \Rightarrow b < b_c = \frac{3}{5}a - \frac{25}{a}$

↑
⊖ Hopf 分叉點
< 极限环 > 稳定点

▷ 分叉點附近的振荡周期: $b \sim b_c$, $\tau \sim 0$, $\pi \sim \pm i\sqrt{\Delta}$.

$$\therefore \omega \sim \Delta^{\frac{1}{2}} \quad T \sim 2\pi/\omega = 2\pi \dots$$



- 一些模型 ...
总结:
 - ① 不动点区域檢查
 - ② 利納德系流判別
 - ③ 稳定性与周期振荡
 - ④ Hopf 分叉

III) 循环的全局分叉 Global Bifurcation of Cycles

④ 相平而而非不动点邻域

Cycle ④ 鞍点分叉 eg. $\dot{r} = Mr + r^3 - r^5$

$$\dot{\theta} = \omega + br^2$$

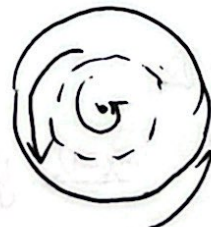
$$M_c = -\frac{1}{4}$$

$$M < M_c$$

$$M = M_c$$

$$M > M_c$$

P



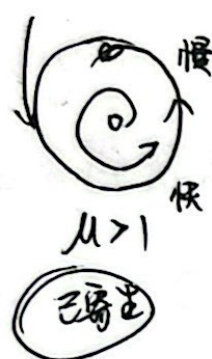
原系统始終稳定, 如何計算 M_c ? 转化为一维 r .

- 周期 $T \rightarrow \infty$ 分岔: 转折同宿分叉. Saddle-node homoclinic bifurcation
一个鞍点和一个节点出现在一个循环上.

eg. $\dot{r} = r(1-r^2)$

$$\dot{\theta} = \mu - \sin\theta.$$

$$\mu > 0, \quad \mu_c = 1 \quad \text{increase in } (\mu - \mu_c)^{\frac{1}{2}}$$



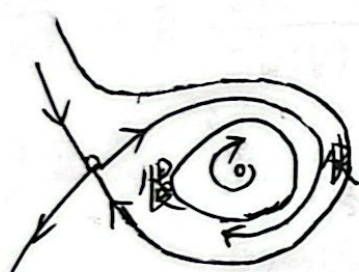
寄生效应

- 同宿分叉: 一个极限环与鞍点碰撞与消失

eg. $\dot{x} = y$

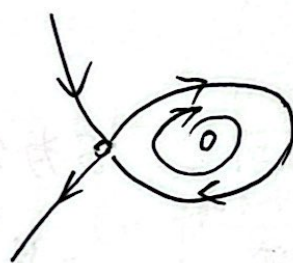
$$\dot{y} = \mu y + x - x^2 + xy.$$

$$\mu_c \approx -0.8645,$$



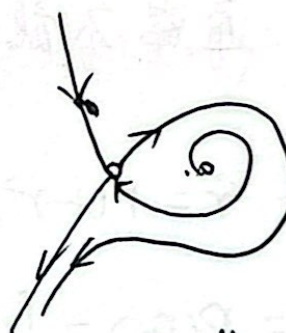
$$\mu < \mu_c$$

$$\alpha > 0$$



$$\mu = \mu_c$$

$$\alpha = 0$$



$$\mu > \mu_c$$

$$\alpha < 0$$

极限环消失

eg. $\begin{cases} \dot{x} = -x + 2y + x^2 \\ \dot{y} = (2-\alpha)x - y - 3x^2 + \frac{3}{2}xy \end{cases}$

$$\dot{y} = (2-\alpha)x - y - 3x^2 + \frac{3}{2}xy \rightarrow (0,0).$$

总结 稳态 Hopf

$$\begin{array}{ll} A \oplus & T \\ O(\sqrt{\mu}) & O(1) \end{array}$$

转折点 Cycle

$$\begin{array}{ll} O(1) & O(1) \end{array}$$

周期 $T \rightarrow \infty$ 分岔

$$\begin{array}{ll} O(1) & O(1/\mu) \end{array}$$

同宿分叉

$$\begin{array}{ll} O(1) & O(1/\mu) \sim \bar{x} \propto x, \bar{y} \propto y \text{ 之类} \end{array}$$

IV) Poincare Map and Linear Stability of Periodic Orbits

庞加莱图和周期轨道的线性稳定性

Poincare Map 庞加莱图

考虑 n 维系统 $\dot{\vec{x}} = \vec{f}(\vec{x})$

S 为 $n-1$ 维表面, flow 流的截面.

P 为 庞加莱图, 通过轨道与 S 的交点获得

$$\vec{x}_{k+1} = P(\vec{x}_k)$$

考虑 P 的不动点 \vec{x}^* , $P(\vec{x}^*) = \vec{x}^*$.

轨道为闭合轨道, 可通过 P 在 \vec{x} 附近稳定性确定轨道稳定性.

从而将闭合轨道问题转化为映射问题.

*: 通常不能找到 P .

e.g. 考虑 $\dot{r} = r(1-r^2)$, $\dot{\theta} = 1$. S 为 θ 轴

$$r_{k+1} = P(r_k) = \left[1 + e^{-4\pi} \left(\frac{1}{r_k^2} - 1 \right) \right]^{\frac{1}{2}} \quad r^* = 1$$

由不动点分析知 $r^* = 1$ 为稳定不动点.

Linear stability of limited cycle 极限环的稳定性

考虑无穷小扰动 \vec{v}_0

$$\vec{x}^* + \vec{v}_1 = P(\vec{x}^* + \vec{v}_0) = P(\vec{x}^*) + \underbrace{[DP(\vec{x}^*)] \vec{v}_0}_{\text{线性化的 } P \text{ 映射}} + O(\|\vec{v}_0\|^2)$$

$$\vec{v}_1 = [DP(\vec{x}^*)] \vec{v}_0$$

将此为周期轨道的 Floquet 方程

DP 有 $n-1$ 个本征值 λ_i , 本征矢 \hat{e}_i

$$\vec{v}_0 = \sum \lambda_i \hat{e}_i \Rightarrow \vec{v}_1 = \sum \lambda_i^2 \lambda_i \hat{e}_i \Rightarrow \vec{v}_k = \sum \lambda_i^k \lambda_i \hat{e}_i$$

若 $|\lambda_j| < 1 \forall j$, 则 $\|\vec{v}_k\| \rightarrow 0$

V) Oscillations resulting from hysteresis 迟滞引起振荡

双稳态系统如 $\dot{x} = a + x - x^3$.



引入 $\bar{a} = \epsilon(x_0 - x)$ $\epsilon \ll 1$ 形成反馈调节

例. 电流反馈的 Morris-Lecar 模型 (神经元极化)

$$C \frac{dV}{dt} = g_{ca} m_\infty(V)(V_{ca} - V) + g_k w(V_k - V) + g_L (V_L - V) + I$$

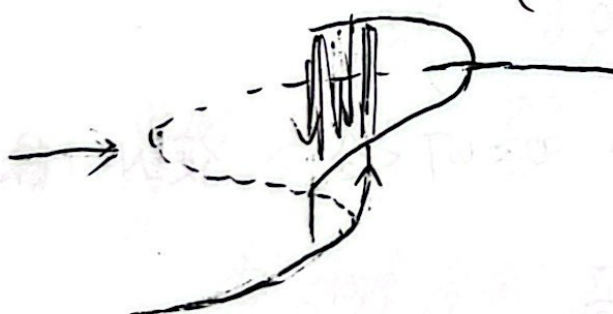
\downarrow 电压 \downarrow 临-化概率函数 \downarrow 电-化系数 \uparrow 漏电流 \uparrow 触发电流

$$\frac{dw}{dt} = \phi \frac{w_\infty(V) - w}{T_w(V)} \quad \frac{dI}{dt} = \epsilon(V_0 - V) \quad \epsilon = 0.001$$

门函数 $m_\infty(V) = \frac{1}{2} (1 + \tanh \frac{V - V_1}{V_2})$

$$\Theta w_\infty(V) = \frac{1}{2} (1 + \tanh \frac{V - V_3}{V_4})$$

$$T_w(V) = (1 + \tanh \frac{V - V_3}{2V_4})^{-1}$$



形成如左相图和轨迹.

VI) Hopf 分岔和在时间弛豫等式中,

$$\dot{x}(t) = f(x(t-\tau)) \quad \text{一阶.} \quad \Rightarrow \frac{dx(t)}{dt} = x(t-\tau) = \sum_{n=0}^{\infty} \frac{(-\tau)^n}{n!} \frac{d^n x(\tau)}{dt^n}$$

· 稳定平衡点分析.

e.g. 人口的 Logistic 模型.

$$\frac{dN(t)}{dt} = rN(t) \left[1 - \frac{N(t-T)}{K} \right] \quad \text{取 } \hat{t} = rt, \hat{T} = rT, \hat{N} = \frac{N}{K}$$

$$\Rightarrow \frac{dN(t)}{dt} = N(t) [1 - N(t-T)]$$

$$\text{稳定时 } N(t) = N(t-T) \rightarrow N^* = 0, 1$$

① 在 $N^* = 0$ 附近, 点是不稳定的.

② 在 $N^* = 1$ 附近, 取 $N(t) = 1 + n(t)$.

$$\frac{dn(t)}{dt} = -n(t-T) [1 + n(t)] \sim -n(t-T).$$

从而 T 为参数, 考虑 $n(t) = n_0 e^{\lambda t}$, 则有 $\lambda = e^{-\lambda T}$,

$$\text{解为 } \lambda = \mu \pm i\omega \quad (\omega \neq 0)$$

$$\Rightarrow \mu = -e^{-\mu T} \cos \omega T$$

$$\omega = e^{-\mu T} \sin \omega T \quad \text{关于 } \pm \omega \text{ 对称.}$$

只考虑 $\omega > 0$, 那 $\sin \omega T > 0$.

则 $\cos \omega T > 0 \Rightarrow 0 < \omega T < \frac{\pi}{2}$ 使 $N=1$ 稳定.

$$\text{即 } \omega T = T e^{-\mu T} \sin(\omega T) < \frac{\pi}{2}.$$

实际上, 此时 T 有限且 $N^* = 1$ 为螺旋不稳定的.

若 $\omega T > \frac{\pi}{2} \Rightarrow N=1$ 不稳定, 出现极限环.

在临界点, $\omega_c T_c = \frac{\pi}{2}$, $\mu_c = 0$. $\omega_c = \sin(\omega_c T_c) = 1$.

$$\Rightarrow T_c = \frac{\pi}{2}, \quad \text{而 } \boxed{\omega_c = 1, T_c = 1} \text{ 为振荡临界点}$$

根据 Hopf 分岔定理. $\frac{\partial M}{\partial T} \Big|_{T_c} \neq 0$. $\mu=0$ 时, Hopf 分岔出现

$$= 1$$

$$\text{振荡周期 } P_c = \frac{2\pi}{\omega_c} = 2\pi = 4T_c.$$

► 超出 Hopf 分岔点. 取 $T = T_c + \varepsilon$, $\mu = \delta$, $\omega = 1 + \sigma$.

$$\Rightarrow \sigma \geq -\frac{\pi}{2}\delta \quad \delta \approx \varepsilon + \frac{\pi}{2}\tau. \Rightarrow \delta \geq \frac{\varepsilon}{1 + \frac{\pi}{4}} \quad \sigma \approx \frac{-\varepsilon\pi}{2 + \frac{\pi^2}{2}}$$

$\tau < 0$ 表示系统进一步进入振荡, $T \uparrow$ 而 $\omega \downarrow$.

► (3) 若 $\frac{dn(t)}{dt} = n(t-T)$? 取 $n(t) = n_0 e^{\lambda t}$

$$\Rightarrow \lambda = e^{-\lambda T} \quad \lambda \in \mathbb{R} \text{ 则不稳} \Rightarrow \lambda = \mu \pm i\omega, \omega \neq 0.$$

$$\begin{cases} \mu = e^{-\lambda T} \cos \omega T \\ \omega = -e^{-\lambda T} \sin \omega T. \end{cases}$$

$n(T) = 0$ 不稳 当 $\mu > 0 \quad \omega T \in (0, \frac{\pi}{2})$.

稳定 当 $\mu < 0 \quad \omega T \in (\frac{\pi}{2}, \frac{3}{2}\pi)$.

$$\text{此时 } \mu = 0. \quad \frac{\partial M}{\partial T} = \left(\frac{\omega \mu + \mu \cdot \dot{\mu}}{\sin \omega T} \right) e^{-\lambda T} \Big|_{T_c = \frac{\pi}{2} \text{ or } \frac{3}{2}\pi, \omega_c = 1} = 0. - 1.$$

为 Hopf 分岔. $\rightarrow T$ 最小可使得 $n=0$ 解不稳定.

~~注意~~

例：蒸汽机比例反馈控制。

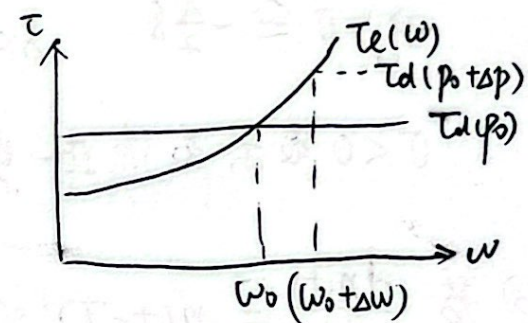
$$I \ddot{w} = T_d(p) - T_e(w) \quad T_d(p_0) = T_e(w_0).$$

无控制： $p_0 \rightarrow p_0 + \Delta p, \frac{dp}{dt} = (w_f - w) \frac{1}{I} \left(\frac{dT_e}{dw} \right)_{w_0}$

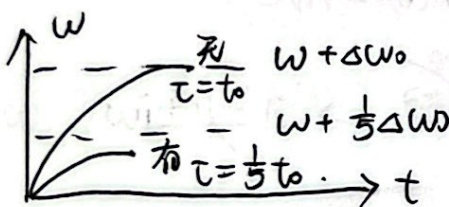
比例负反馈控制： $p_0 \leftarrow p_0 + \Delta p - k(w - w_0)$

$$\frac{dw}{dt} = (w_f - w) \frac{1}{I} \left(\frac{dT_e}{dw} \right)_{w_0} (1 + G). \quad G = k \frac{\left(\frac{dT_d}{dp} \right)_{p_0}}{\left(\frac{dT_e}{dw} \right)_{w_0}}$$

$$w_f' = w_0 + \frac{\left(\frac{dT_d}{dp} \right)_{p_0} \Delta p}{\left(\frac{dT_e}{dw} \right)_{w_0} (1 + G)}$$



抑制效果：



→ 有时间延迟时， $p(t) - p_0 = \Delta p_0(t) - k(w(t-t_g) - w_0)$

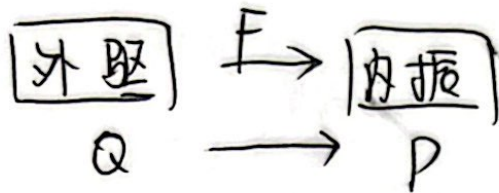
$$\Rightarrow \frac{dw}{dt} \approx [w_f' - w(t-t_g)] \frac{1}{t_g} \quad (G \text{ 较大})$$

$$\underline{R \equiv w_f' - w(t)}$$

$$\frac{dR(t)}{dt} = - \frac{R(t-t_g)}{t_g}$$

若 $t_g \rightarrow 0$, $R(t) \rightarrow R(\omega) e^{-t/t_g} \Rightarrow$ 延迟大将失稳！

IV 周期受迫振荡



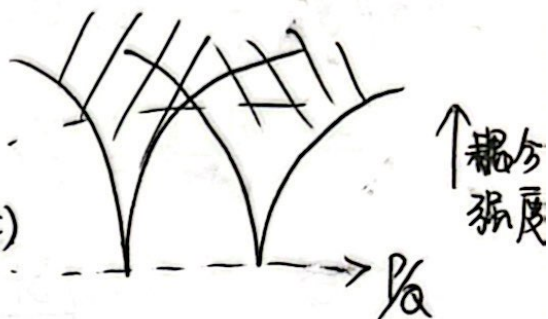
频率比 Frequency ratio P/Q

耦合强度

由 $\frac{P}{Q}$ 有理 周期性振荡 // //

无理 非周期 (无初态限制)

耦合强度 $\uparrow \Rightarrow$ 多稳态振荡 (临界线上)
 周期加倍
 混沌.



e.g. $\theta_{i+1} = \theta_i + \gamma_2 + \frac{k}{2\pi} \sin 2\pi \theta_i$ $\theta_i \in (0, 1), \gamma_2 = \frac{P}{Q}, k$ 为耦合强.

$$\frac{d\theta}{dt} = 0$$

$$\frac{d^2\theta}{dt^2} = M - \gamma W + \sum_n r F_0 \sin \theta \delta(t-nT).$$

Lecture 8 n-D system $n > 2$.

$$\dot{\vec{x}} = \vec{F}(\vec{x}, \lambda) \quad \vec{x} = (x_1, \dots, x_n) \quad \lambda \text{ 参量}$$

不动点 $\vec{F}(\vec{x}_s, \lambda) = 0$. 微扰, $\vec{x} = \vec{x}_s + \vec{x}(t)$

$$\Rightarrow \frac{d\vec{x}(t)}{dt} = \vec{F}(\vec{x}_s + \vec{x}, \lambda)$$

$$\Rightarrow \frac{d\vec{x}(t)}{dt} = \left(\frac{\partial \vec{F}}{\partial \vec{x}} \right)_{\vec{x}_s} \cdot \vec{x} + \dots = \underbrace{\vec{L}(\vec{x}_s, \lambda) \cdot \vec{x}}_{\text{雅可比矩阵}} + \underbrace{h(\vec{x}, \lambda)}_{\text{非线性项}}$$

若 $\frac{d\vec{x}(t)}{dt} = \vec{L}(\vec{x}_s, \lambda) \cdot \vec{x}(t)$ 解渐近稳定,

则 $\vec{x} = \vec{x}_s$ 为 \vec{F} 的渐近稳定解

特征值方程, $\vec{L}(\vec{x}_s, \lambda) \cdot \vec{u} = \omega \vec{u}$ $\Rightarrow \vec{x}(t) = \vec{u} e^{\omega t}$

$$\Rightarrow \sum_j L_{ij}(\vec{x}_s, \lambda) u_j = \omega u_i \Rightarrow \sum_j (L_{ij} - \omega \delta_{ij}) u_j = 0$$

即 $\det |\vec{L} - \lambda I|/\omega = 0$

$$\text{从而 } \vec{x} = \sum_m c_m \vec{u}_m e^{\omega_m t}$$

$$\text{左 } D = T^{-1} \vec{L} T = \text{diag}(\omega_m) \\ \hookrightarrow \text{本征矩阵}$$

$$\Rightarrow T^{-1} \cdot \frac{d\vec{x}}{dt} = T^{-1} L T T^{-1} \vec{x} \quad \text{令 } \vec{z} = T^{-1} \vec{x}$$

$$\Rightarrow \frac{d\vec{z}}{dt} = \vec{D} \cdot \vec{z} \quad \Rightarrow \frac{dz_i}{dt} = \omega_i z_i$$

$$\text{从而对非线性项, } \frac{dz_i}{dt} = \omega_i z_i + \hat{h}_i(\vec{z}, \lambda)$$

$$\hat{h}(\vec{z}, \lambda) = T^{-1} h(T \cdot \vec{z}, \lambda)$$

(逐渐开始残余).

D是n阶的当标准值快丁的直和不可得矩阵的直和.

每个丁对应一个 w_m

记 μ_m 为 w_m 的多重性 - 代表多重度.

v_m 为本征矢量独立的 w_m 的多重性 - 几何多重度

对每个m.

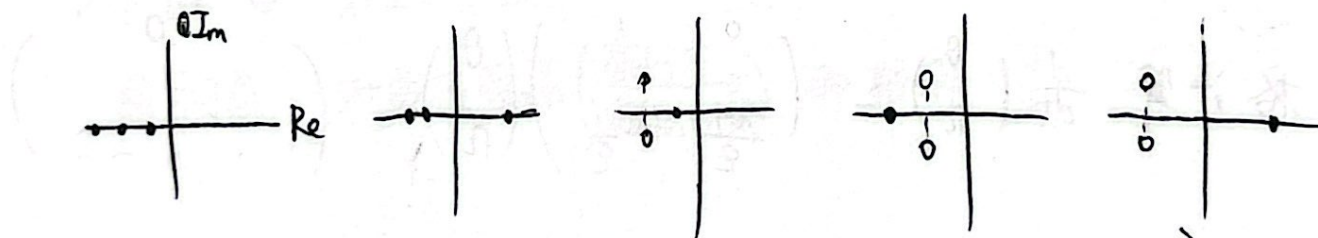
若 $\mu_m = v_m \rightarrow$ 本征矢无简并. $n=1$ $J_1 = \boxed{w_m} w$.

若 $\mu_m > v_m \rightarrow$ 本征矢出现简并 $n > 1$.

$$\textcircled{1} \quad w_m \in \mathbb{R}. \quad J_s = \begin{pmatrix} w_m & 0 \\ 0 & w_m \end{pmatrix} \quad \mu_m \times \mu_m$$

$$\textcircled{2} \quad w_m \in \mathbb{C}. \quad J_s = \begin{pmatrix} R_m & 0 \\ 0 & R_m \end{pmatrix} \quad R_m = \begin{pmatrix} \operatorname{Re} w_m & -\operatorname{Im} w_m \\ \operatorname{Im} w_m & \operatorname{Re} w_m \end{pmatrix}$$

I) $n=3$. 3D 系统. 本征值有 ~~不止~~ ^{不止} 种分布 (非退化) (对称的不计)



同宿轨道.

II) Central manifold 中的流形.

将 w_m 与 $\operatorname{Re}(w_m)$ $\begin{cases} < 0, & n_+ \\ \sim 0, & n_0 \\ > 0, & n_- \end{cases}$ 三类. $n_+ + n_0 + n_- = n$.

因为 $\operatorname{Re}(w) < 0$, 项衰减很快, 故对应分析时可以认为对应变量 $\theta_m = 0$

从而微扰流形被压缩至 $\operatorname{Re}(w) \sim 0$ 的子空间中讨论.

中心流形,

在中心流形中, 流行为主要由非线性项控制.

Slave 原理



从而将快变量

表示为慢变量

的函数

$\operatorname{Re}(w) = 0$ 时, 分岔发生, 非线性项支配系统

$$\text{eq. } \dot{u} = Bu + g(u, v)$$

$$\dot{v} = Cv + h(u, v)$$

v 为快变量, $\Rightarrow v = V(u)$ 为 W^c 而

从而 $\dot{u} = Bu + g(u)$, 降为 $v=0$ 而上分析.

$$\text{eq. } \frac{d\theta}{dt} = \omega \quad \frac{d\Omega}{dt} = -\frac{1}{\varepsilon}\Omega + \frac{1}{\varepsilon} \sin(\lambda \cos\theta - 1) \quad \varepsilon \ll 1, \lambda \gg 1$$

$$\text{从快 } \Rightarrow \frac{d\Omega}{dt} = 0 \Rightarrow \Omega = \underbrace{\sin(\lambda \cos\theta - 1)}_{\text{慢}} = \frac{d\theta}{dt}.$$

$$\text{严格计算 } \frac{d}{dt} \left(\begin{matrix} \theta \\ \Omega \end{matrix} \right) = \left(\begin{matrix} 0 & 1 \\ \frac{\lambda}{\varepsilon} & -\frac{1}{\varepsilon} \end{matrix} \right) \left(\begin{matrix} \theta \\ \Omega \end{matrix} \right) + \left(\begin{matrix} 0 \\ \cdot \cdot \cdot \end{matrix} \right)$$

$$\xrightarrow{*} (0, 0) \quad \mu_{1,2} = \frac{-1 \pm \sqrt{1+4\varepsilon\lambda}}{2\varepsilon} \simeq \alpha, -(\alpha + \frac{1}{\varepsilon})$$

在 $\alpha = 0$ 时出现零本征值, 故研究 $\alpha \sim 0$ 时的中心流形

$$T = \begin{pmatrix} 1 & \varepsilon \\ \alpha & -(1+\varepsilon\alpha) \end{pmatrix} \quad \Leftrightarrow \left(\begin{matrix} \theta \\ \Omega \end{matrix} \right) = T \left(\begin{matrix} z \\ \omega \end{matrix} \right)$$

$$\text{故有 } \frac{dz}{dt} = \dots \quad \frac{d\omega}{dt} = \dots \quad \Rightarrow \frac{d\omega}{dt} = 0.$$

$$\uparrow \text{慢 } (\alpha) \quad \uparrow \text{快 } -(\alpha + \frac{1}{\varepsilon})$$

返回 θ, Ω , 得上式

这种类庞加莱近似应用于混沌本征值的临界分析.

以及有关分离时间尺度的参量分析
(由于参数数量级差异)

III) 且 ND 极限环分支.

最简单的，零本征值分支 3 种

Hopf 分支

其它？ n 维分支极限环往往与 P 圈中不动点稳定性有关.

• 离散系统不动点稳定性 $\bar{x} \mapsto f(\bar{x})$, x^* . 雅可比 $\bar{J}_x(x^*) = A(x^*)$

稳定性 $\rightarrow |A(x^*)|$ 本征值 $|\lambda| < 1$. $\forall i$

双曲不动点：不存在 $|\lambda|=1$, 有 $|\lambda|>1$ 和 $|\lambda|<1$

△ P 圈 且 双曲不动点

相图 双曲极限环 (轨迹在圆内) 即 轨环

• 不动点分歧 ~~且~~

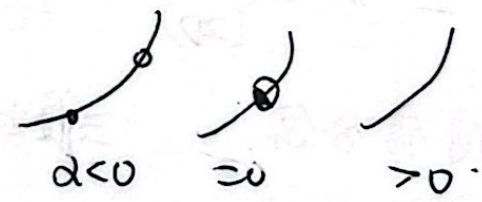
① $\mu=1$ 轨迹点叶叉型

③ $\mu \otimes |\mu|=1$

环面 or N-S 分叉

② $\mu=-1$ 跳师界叶倍周期.

轨迹点: $x_{n+1} = \alpha + x_n + x_n^2$

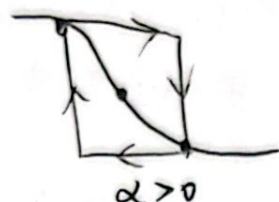


叉型: $x_{n+1} = (\alpha+1)x_n - x_n^3$



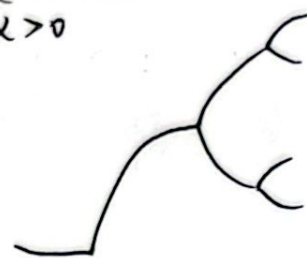
$$\text{倍周期/翻倍: } x_{n+1} = -(1+\alpha)x_n + x_n^3$$

$\alpha < 0$



周期不稳点对，周期翻倍

$$x_{n+1} = \alpha x_n e^{-x_n},$$



$$\text{环形分岔: } r_{n+1} = r_n(1+\alpha) - r_n^3, \quad \theta_{n+1} = \theta_n + \gamma.$$

即径向叉形分岔.

· 3D 极限环分岔

① 超临界 Hopf 分岔 (2D) + 不稳点 (1D)

② 鞭点分岔 (P图上鞭点分歧)

③ 倍周期分岔 (P图上出现倍周期分岔).

④ 环型分岔 / 第二 Hopf 分岔 (P图上 Hopf 分岔).

⑤ 鞭点同宿分岔 (SNIC).

P图上螺旋 \star + 一维环上鞭点分岔

鞭点同宿分岔. 三维上的鞭点与极限环碰, P图鞭

鞭点同宿分岔

--- 螺旋鞭点与极限环. P图鞭



· 余维数二分支.

余维数 n 分支: n 支, n 分支, (通常会有 n 个分支).

n=1, 调一个参, 直输出单个分支条件, 如 $\tau=0$, $\Delta=0$

同时满足

n=2, 调两个参, 二值且一值分支条件 才能输出分支

只有 5 种余维二分支

① 突点分支 (cusp)

② $\lambda_1=0$, $\alpha = \frac{1}{2} f_{xx}(0,0) = 0$. 常有 $\dot{\eta} = \beta_1 + \beta_2 \eta - \eta^3$

在 $\beta_1 - \beta_2$ 面上出现

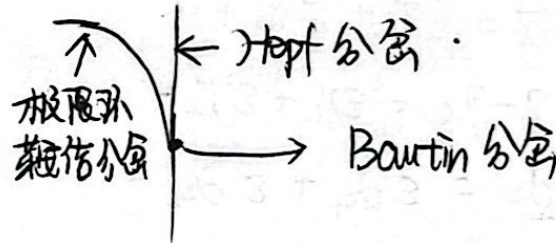


线上为叉型分支
尖点为 Cusp 分支

② Bautin 分支 $\lambda_{1,2} = f_x(0,0) = \pm i\omega_0$, $\beta_1=0$ (3阶参数)
 $\text{Re}(\gamma)=0$

常有 $\dot{\rho} = \beta_1 + \beta_2 \rho^2 - \rho^4$, $\dot{\psi} = 1$.

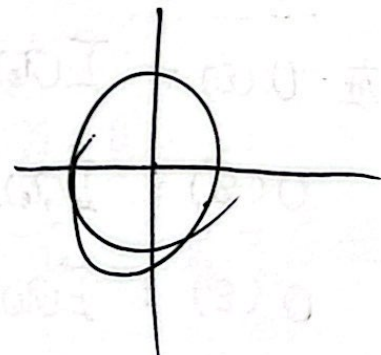
在 $\beta_1 - \beta_2$ 面上出现



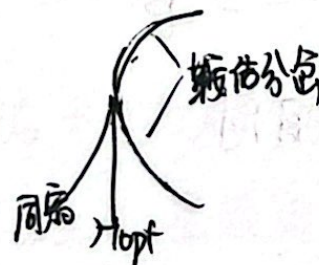
③ P-T 分支 $\lambda_{1,2}=0$

常有 $\dot{\eta}_1 = \eta_2$

$$\dot{\eta}_2 = \beta_1 + \beta_2 \eta_1 + \eta_1^2 - \eta_1 \eta_2.$$



在 $\beta_1 - \beta_2$ 图上有



④ Fold-Hopf 分岔. $\lambda=0$ $\lambda_{2,3}=\pm i\omega_0$

⑤ Hopf-Hopf 分岔 $\lambda_{1,4}=\pm i\omega_1$ $\lambda_{2,3}=\pm i\omega_2$ $\omega_1 > \omega_2 > 0$

都只是余维二分岔. β_1, β_2 相同

IV) nD 非线性局部部分的正则方程

线性稳定性分析可预测临界点而不能足够分析分岔行为.

局部部分又发生在低维中心流形中. 一般的低维方程是复杂的

而, 线性分析思路是展成多项式, 不断纳入非线性项分析

某种思路, 强化线性方程效果, 将非线性阶数不断升上去.

$$\frac{d\vec{x}}{dt} = \vec{F}(\vec{x}, \lambda) \rightarrow \vec{x}_s$$

$$\text{常规上分析 } \vec{x} = \vec{x}_s + \vec{\alpha}. \quad \frac{d\vec{\alpha}}{dt} = \vec{L}(\lambda) \vec{\alpha} + \vec{h}(\vec{\alpha}, \lambda)$$

临界: $Re(\lambda) = 0$ 与 λ_c

若有 $\vec{x} = \varepsilon \vec{x}_1 + \varepsilon^2 \vec{x}_2 + \dots$

$$\lambda - \lambda_c = \varepsilon \lambda_1 + \varepsilon^2 \lambda_2 + \dots$$

$$dt = \varepsilon d\tau, \quad \tau = \varepsilon t. \quad \ll \tau = \varepsilon^2 t, \dots$$

在 $O(\varepsilon)$: $\vec{L}(\lambda_c) \vec{x}_1 = 0$.

不同时问尺度.

$$O(\varepsilon^2): \vec{L}(\lambda_c) \vec{x}_2 = -x_1 \vec{L}_x(\lambda_c) \vec{x}_1 - \frac{1}{2} \vec{h}_{xx} \vec{x}_1 \vec{x}_1 + \frac{\partial \vec{x}_1}{\partial \vec{a}} = \vec{g}_2$$

$$O(\varepsilon^3): \vec{L}(\lambda_c) \vec{x}_3 = \dots = \vec{g}_3$$

↑
左边算符完全相同

问题化为递归的代数方程.

① 考虑 $w_c = 0$ (零本征值)

$$0(\varepsilon): L(\lambda_c) \vec{x}_1 = 0 \quad \vec{x}_1 = C(T_1, T_2, \cdot) \vec{u} \xrightarrow{\text{本征矢}}$$

$$0(\varepsilon^2): L(\lambda_c) \vec{x}_2 = \vec{g}_2(C, \vec{u}, \lambda_c) \quad (C \text{ 表示微扰有理值})$$

$$\vec{x}_2 = L^{-1}(\lambda_c) \vec{g}_2(C, \vec{u}, \lambda_c).$$

问题在于 L 并不保可逆, $\therefore \lambda_c = 0$.

Fredholm \rightarrow $MX = F$ 有解 $\Leftrightarrow M^*F \cdot Y = 0$. Y 为 $M^*Y = 0$ 的解.
可解性条件.

\therefore 即 $L^*(\lambda_c) \vec{u}^+ = 0$, $(\vec{u}^+, \vec{g}_2) = 0$. \vec{g}_2 与 \vec{u}^+ 正交!

$$\Rightarrow \frac{\partial C}{\partial \lambda} = \gamma_1 P_1 C - P_2 C^2$$

$$P_1 = \frac{1}{(\vec{u}^+, \vec{u})} (\vec{u}^+, L(\lambda_c) \vec{u}), \quad P_2 = \frac{1}{2(\vec{u}^+, \vec{u})} (L^*, h_{xx}(\lambda_c) \vec{u} \vec{u})$$

$$\bar{A} = \varepsilon C, \quad \varepsilon \gamma_1 \simeq \lambda - \lambda_c. \quad \frac{\partial}{\partial t} \simeq \varepsilon \frac{\partial}{\partial \lambda} \text{ 有.}$$

$$\frac{dA}{dt} = (\lambda - \lambda_c) P_1 A - P_2 A^2. \quad \text{实方程.}$$

若 $P_2 \neq 0$, 此时为临界正则形式 (普遍).

此时所有 n-D 问题变为 1-D 问题, A 为序参量.

$$P_1 = \frac{d w(\lambda)}{d \lambda}.$$

② 考虑 $w_c = 0$ 但 $P_2 \neq 0$. 此时由统面对称性, $\gamma_1 = 0$.

$$\therefore \frac{\partial C}{\partial \lambda} = 0. \quad L(\lambda_c) \vec{x}_2 = -\frac{1}{2} h_{xx}(\lambda_c) \vec{x}_1 \vec{x}_1^\top, \quad \vec{x}_2 \text{ 不依赖 } \vec{u}$$

$$\vec{x}_2 = C_2(\lambda_c) \vec{u}_0 + L^{-1}(\lambda_c) \left[-\frac{1}{2} C^2 h_{xx}(\lambda_c) \vec{u} \vec{u}^\top \right]$$

现在 \vec{g}_2 与 \vec{u}^+ 正交是显然的, 但不能获得 \vec{x}_1 了.

此时考虑 $0(\varepsilon^3)$

$$\text{同理 } (U^+, \vec{q}_B) = 0 \Rightarrow (U^+, h_{\infty} \vec{u} \vec{u}) = 0$$

$$\Rightarrow \frac{\partial C}{\partial \tau_2} = \gamma_2 P_1 C - P_3 C^3.$$

$$\text{令 } \lambda - \lambda_c = \epsilon \varepsilon^{1/2}. \quad A = \varepsilon C. \quad \frac{dA}{dt} = \varepsilon^2 \frac{\partial}{\partial \tau_2}$$

$$\Rightarrow \frac{dA}{dt} = (\lambda - \lambda_c) P_1 A - P_3 A^3. \quad \text{为叉型分岔一般形式}$$

③ Hopf 分岔 . 不存在临界减速, $T \sim \Omega t$.

$$\therefore \frac{d}{dt} = \Omega \frac{\partial}{\partial T} + \varepsilon \frac{\partial}{\partial \tau_1} + \varepsilon^2 \frac{\partial}{\partial \tau_2}.$$

$$O(\varepsilon) : \left[\Omega \frac{\partial}{\partial T} I - L(\omega) \right] \vec{x}_1 = 0 \quad O(\varepsilon^i) \text{ 同理}.$$

从而 $\vec{x}_1 = \tilde{C}(\tau_1, \dots) U e^{iT} + \text{c.c.} \quad U \text{ 是 } T \text{ 的本征矢.}$

$$O(\varepsilon^2) \text{ 正交条件: } \frac{1}{2} \varepsilon^2 (U^+ e^{iT}, h_{\infty} U e^{iT}) = 0$$

$$\Rightarrow \frac{\partial C}{\partial \tau_1} = \gamma_1 P_1 C. \quad \text{不为实数} \quad \frac{\partial C}{\partial \tau_1} = 0.$$

$$\xrightarrow{O(\varepsilon^2)} \frac{\partial C}{\partial \tau_2} = \gamma_2 P_1 C - P_3 |C|^2 C \quad \Rightarrow \underbrace{\frac{dA}{dt} = (\lambda - \lambda_c) P_1 A - P_3 |A|^2 A}_{A, P_1, P_3 \text{ 为复数.}}$$

$$\text{令 } A = r e^{i\phi}. \quad \begin{cases} \text{实部} & \frac{dr}{dt} = \\ \text{虚部} & \frac{d\phi}{dt} = \end{cases}$$

$$\frac{dr}{dt} = 0 \Rightarrow r_s = \left[\frac{\text{Re} P_1}{\text{Re} P_3} (\lambda - \lambda_c) \right]^{1/2}.$$

$$\frac{d\phi}{dt} = \Delta \Omega = \left(\text{Im} P_1 - \frac{\text{Im} P_3 \text{Re} P_1}{\text{Re} P_3} \right) (\lambda - \lambda_c).$$

\therefore 频率为 $\Omega_c + \alpha (\lambda - \lambda_c)$.

$\text{Re}(P_3) > 0$ 超临 < 0 亚临

$$\text{eg. } \frac{d\theta}{dt} = \lambda$$

$$\lambda = 1.$$

$$\frac{d\theta}{dt} = \sin\theta (\lambda \cos\theta - 1) - b\lambda$$

$$\frac{d}{dt} \begin{pmatrix} \theta \\ \lambda \end{pmatrix} = \begin{pmatrix} 0 & 1 \\ \lambda - 1 & -b \end{pmatrix} \begin{pmatrix} \theta \\ \lambda \end{pmatrix} + \begin{pmatrix} 0 \\ \frac{1-\lambda^2}{6} \end{pmatrix} + O(\theta^5)$$

$$L(\lambda u) = \begin{pmatrix} 0 & 1 \\ 0 & -b \end{pmatrix} \quad u = \begin{pmatrix} 1 \\ 0 \end{pmatrix} \quad P_1 = \frac{1}{b}$$

$$L^+(u_+) = \begin{pmatrix} 0 & 0 \\ 1 & -b \end{pmatrix} \quad u^+ \in \begin{pmatrix} b \\ 1 \end{pmatrix}. \quad P_3 = \frac{(1-4\lambda)}{6b}$$

$$L_\lambda(\lambda u) = \begin{pmatrix} 0 & 0 \\ 1 & 0 \end{pmatrix}$$

$$\Rightarrow b \frac{dA}{dt} = (\lambda - 1)A - \left(\frac{4\lambda - 1}{6}\right) A^3$$

eg. Brusselator model, $\overline{\lambda}$

$$\dot{x} = A - (B+1)x + x^2y \quad \rightarrow^* (A, B/A). \quad B_c = A^2 + 1. \quad \lambda_u = A$$

$$\dot{y} = Bx - x^2y$$

$$\frac{d}{dt} \begin{pmatrix} x \\ y \end{pmatrix} = \begin{pmatrix} B-1 & A^2 \\ -B & -A^2 \end{pmatrix} \begin{pmatrix} x \\ y \end{pmatrix} + \left(\frac{B}{A}x^2 + 2xy + x^2y \right) \begin{pmatrix} 1 \\ -1 \end{pmatrix}$$

$$\Rightarrow \frac{d}{dt} \begin{pmatrix} x \\ z \end{pmatrix} = \frac{B-B_c}{2}z - \underbrace{\left(\frac{A^2+2}{2A^2} + \dots \right)}_{\hookrightarrow \text{超臨界 Hopf}} |z|^2 z.$$

超臨界 Hopf

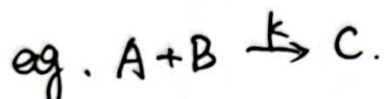
Lecture 9. Turing Pattern 固定斑图

不随时间变化的空间有序结构

为远离平衡态的平衡 — 耗散结构，形成固相

来源：源于扩散/反应过程的神力学不稳定性

I) 反应扩散方程 $\partial_t C = D \nabla^2 C + \underbrace{f_C(C)}_{\text{耗散项, 化学动力学项}}$



充分搅拌. $\partial_t A = -kAB = \partial_t B$

R-D 方程: $\partial_t A = -kAB + D_A \nabla^2 A$

网格法解.

$$\partial_t B = -kAB + D_B \nabla^2 B$$

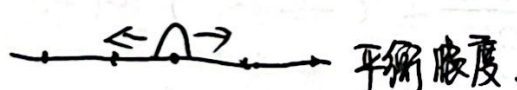
► 固聚形成的良性解释 (固定分层) → 扩散引起不稳定性

Turing 分层: 空间齐次稳态 \leftrightarrow 非均匀稳态

若在某点反应时有小扰动.

考虑 C 活化剂, D 抑制剂. $D_D > D_C$

则有



稳定.

► 稳定性分析.

$$\text{对 } \partial_t X = f(X, Y) + D_X \nabla^2 X$$

$$\partial_t Y = g(X, Y) + D_Y \nabla^2 Y$$

找到平衡/均匀稳态. $f(x_s, y_s) = g(x_s, y_s) = 0$

$$D_x \nabla^2 x_s = D_y \nabla^2 y_s = 0. \quad (\text{均})$$

$$\Rightarrow x = x_s + x, \quad y = y_s + y.$$

$$\partial_t \begin{pmatrix} x \\ y \end{pmatrix} = \underbrace{\frac{\partial(f,g)}{\partial(x,y)}}_{\text{线性}} \begin{pmatrix} x \\ y \end{pmatrix} + \underbrace{\frac{\partial^2(f,g)}{\partial(x^2,y^2)}(D_x, D_y)}_{\text{非线性}} \nabla^2 \begin{pmatrix} x \\ y \end{pmatrix}$$

$$\xrightarrow{\text{F}} \begin{pmatrix} x \\ y \end{pmatrix} = \sum \begin{pmatrix} C_k^1 \\ C_k^2 \end{pmatrix} e^{\lambda_k t + i k \cdot \vec{r}}$$

$$\Rightarrow \lambda_k \begin{pmatrix} C_k^1 \\ C_k^2 \end{pmatrix} = \begin{pmatrix} a_{11} - k^2 D_x & a_{12} \\ a_{21} & a_{22} - k^2 D_y \end{pmatrix} \begin{pmatrix} C_k^1 \\ C_k^2 \end{pmatrix}$$

$$\tau_k = a_{11} + a_{22} - k^2(D_x + D_y) = T_0 - k^2(D_x + D_y)$$

$$\Delta_k = \det(A_k)$$

$$\lambda_k = \frac{\tau_k \pm \sqrt{\tau_k^2 - 4\Delta_k}}{2}$$

当 λ_k 实部均为负时, 系统稳定,

若存在正实部, 系统不稳定

Turing 分岔 $\Rightarrow \text{Im}(\lambda_k) = 0$. $\boxed{\Delta_k < 0}$.

$\neq 0$ 时为 Hopf 分岔

Turing 失稳条件. ① $\lambda_0 \approx 0$, 即无扩散时稳定.

$$\textcircled{1} \quad T_0 < 0 \quad \Delta_0 > 0.$$

$$\textcircled{2} \quad \lambda_k > 0. \quad \text{对} \quad k \in \mathbb{N}.$$

$$\lambda_k < T_0 < 0. \quad \Rightarrow \boxed{\Delta_k < 0}$$

最危险时, $\Delta \Delta_k = \Delta_0 - k^2 (a_{11}D_y + a_{22}D_x) + k^4 D_x D_y$ 图 1.1

$$\frac{\partial \Delta_k}{\partial k^2} = 0 \Rightarrow k_{min}^2 = \frac{a_{11}D_y + a_{22}D_x}{2D_x D_y}$$

$$\Delta_{kmin} = \Delta_0 - \frac{(a_{11}D_y + a_{22}D_x)^2}{4D_x D_y}$$

Turing 失稳: $\Delta_{kmin} < 0 \Rightarrow D_y a_{11} + a_{22}D_x > 2\sqrt{\Delta_0 D_y D_x}$

临界点: $\Delta_{kmin} = 0$.

条件: ① $a_{11} + a_{22} < 0$. a_{11}, a_{22} 反号

② $\Delta_0 = a_{11}a_{22} - a_{12}a_{21} > 0$. a_{12}, a_{21} 反号.

③ $D_y a_{11} + D_x a_{22} > 2\sqrt{\Delta_0 D_x D_y}$ $D_x \neq D_y$

若 $X \rightarrow \text{activator } Y \rightarrow \text{inhibitor}$ $\begin{cases} a_{11} > 0 & a_{12} > 0 \\ a_{21} < 0 & a_{22} < 0 \end{cases} A = \begin{pmatrix} + & + \\ - & - \end{pmatrix}$

Turing Pattern 则存在于 Hopf 稳定区和 Turing 失稳区、重叠区.

$\Rightarrow D_y > D_x$, 即 $D_y > D_x$

临界波长: $k_c^2 = \frac{(+)^2}{2D_x D_y}$ $\Delta_{k_c} = 0$

$$\Rightarrow \Delta_0 = k_c^4 D_x D_y \Rightarrow k_c^2 = \sqrt{\frac{\Delta_0}{D_x D_y}}$$

而波形分岔点不出现.

\because 若 $\text{Im}(\lambda) \neq 0$, 满足时 $\text{Re}(\lambda) < 0$ 点成立. HK

II) Amplitude equation and spatial resonance

振幅方程和空间共振 寻找两图具体形式

$$\vec{x} = \sum \vec{c}_k e^{\lambda_k t + i \vec{k}_k \cdot \vec{r}} + c.c.$$

考虑仅有一个空间模式不褪色

靠近 Turing 分岔点时. $\vec{x} = \vec{x}_s + \vec{x}$

$$= \vec{x}_s + A(t) \vec{u} e^{i \vec{k}_s \cdot \vec{r}} + \bar{A}(t) \bar{\vec{u}} e^{-i \vec{k}_s \cdot \vec{r}}$$

可将自系统的所有非线性效应包在 A 中, u 为临界特征量

推导 $A(t)$ 有多尺度摄动分析和对称性分析两种方法

对称约束: ① 空间平移不变性. $\vec{r} \rightarrow \vec{r} - \vec{r}_0$

② 反射对称性 $\vec{r} \rightarrow -\vec{r}$

对 1D 系统. $\frac{dA}{dt} = f(A, \bar{A})$ $k_c^2 = \sqrt{\frac{D_x D_y}{D_x + D_y}}$

$$\begin{aligned} \text{Taylor} \rightarrow dA = & \mu A + b \bar{A} + c A^2 + d \bar{A}^2 + e |A|^2 + f A^3 \\ & + g |A|^2 A + h |A|^2 \bar{A} + i \bar{A}^3 + O(A^4) \end{aligned}$$

在 $A \rightarrow A e^{i \phi}$ 下应不变 $\phi = -k_c r_0$

$$\Rightarrow \frac{dA}{dt} = \mu A + g |A|^2 A$$

在反射对称性下有. $\bar{A} \rightarrow A$ 应不变.

$$\Rightarrow \mu, g \in \mathbb{R}$$

得到饱和项 $\Rightarrow \frac{dA}{dt} = \mu A - g_1 |A|^2 A, \mu, g > 0$

$$\frac{dA}{dt} = \mu A + g_1 |A|^2 A - g_2 |A|^4 A$$

2D 系统

由系统族数不变性, Turing 分岔开始时, 有无限个临界模式

Q. 系统如何寻找模式?

$$\xrightarrow{\text{Taylor}} \frac{dA_k}{dt} = \mu A_k + \sum_{e,m}^{N,N} h_{em} \cdot A_e A_m + \sum g_{me} A_e A_m A_n + O(A^4), \quad k=1, \dots, N$$

$$\text{空间平移不变. } \vec{x} = \vec{U} \sum_k A_k e^{ik\vec{k} \cdot \vec{r}} + \bar{A}_k e^{-ik\vec{k} \cdot \vec{r}}$$

$$A \rightarrow A e^{i\phi} \Rightarrow \text{因: } \vec{k} = \vec{k}_e + \vec{k}_m$$

$$\vec{k} = \vec{k}_e + \vec{k}_m + \vec{k}_n \dots$$

$$\Rightarrow \vec{k}_e = \vec{k}_1, \quad \vec{k}_m = -\vec{k}_2, \quad \vec{k}_n = -\vec{k}_3. \quad \text{即 } \vec{k}_1 + \vec{k}_2 + \vec{k}_3 = 0.$$

$$\frac{dA_1}{dt} \leftrightarrow h \bar{A}_2 \bar{A}_3 \leftrightarrow \vec{k}_1 = -\vec{k}_2 - \vec{k}_3. \quad \frac{dA_2}{dt}, \frac{dA_3}{dt} \text{ 同理.}$$

$$\Rightarrow \vec{k}_1 = \vec{k}_e + \vec{k}_m + \vec{k}_n. \Rightarrow 15 \text{ 种取法. 对 } 'k_1, k_2, k_3'$$

$$(A_1)^3 A_1 \quad A_2^6 A_1 \quad (A_3)^6 A_1$$

$$\text{从而 } \frac{dA_1}{dt} = \mu A_1 + h \bar{A}_2 \bar{A}_3 - (g_1 |A_1|^2 + g_2 |A_2|^2 + g_3 |A_3|^2) A_1.$$

$$\text{且 } g_1, g_2, g_3 > 0 \quad \text{且 } g_2 = g_3$$

$$A \rightarrow \bar{A} \text{ 不变} \Rightarrow \mu, g_1, g_2 \in \mathbb{R}.$$

$$\Rightarrow \frac{dA_1}{dt} = \mu A_1 + h \bar{A}_2 \bar{A}_3 - [g_1 |A_1|^2 + g_2 (|A_2|^2 + |A_3|^2)]. \quad A_2, A_3 \text{ 同理}$$

通常 μ 为控制参数, h, g_1, g_2 由系统决定.

$$\text{若 } A_i = p_i e^{i\phi_i} \Rightarrow \left\{ \begin{array}{l} \frac{dp_1}{dt} = \mu p_1 + h p_1 p_2 \cos(\phi_1 + \phi_2 + \phi_3) \\ \quad - [g_1 p_1^2 + g_2 (p_2^2 + p_3^2)] p_1 \end{array} \right.$$

$$p_1 p_2 p_3 \frac{d\phi}{dt} = -h p_2^2 p_3^2 \sin \phi \quad \phi = \phi_1 + \phi_2 + \phi_3$$

从而得 4 条方程 $\frac{d\phi}{dt} = -\frac{dA_{1,2,3}}{dt}$

由 $\frac{d\phi}{dt}=0$ 有 $\phi=0$ 或 π

稳定性稳定性分析. $h>0$ $\phi=0$ 稳
 $h<0$ $\phi=\pi$ 稳.

临界环境/有
⇒ 两种模式.

取 $\phi=0, \pi$. 解不动点, 有.

① 单纯解. $\rho_1=\rho_2=\rho_3=0$ $\forall \mu$.

② 条件解 $\rho_1=\sqrt{\frac{\mu}{g_1}}, \rho_2=\rho_3=0$ $\mu>0 \equiv \mu_1$.

③ 天生形解 $\rho_1=\rho_2=\rho_3=\rho \neq 0$.

$$\text{满足 } \mu\rho + |h|\rho^2 - (g_1 + 2g_2)\rho^3 = 0.$$

$$\Rightarrow \rho = \frac{|h| \pm \sqrt{h^2 + 4\mu(g_1 + 2g_2)}}{2(g_1 + 2g_2)}.$$

$$\Rightarrow \mu > \frac{h^2}{4(g_1 + 2g_2)} \equiv \mu_1$$

④ 混合解. $\rho_1 \neq 0, \neq \rho_2 = \rho_3 \neq 0$

$$\Rightarrow \rho_1 = \frac{|h|}{|g_2 - g_1|} \quad \rho_2 = \rho_3 = \sqrt{\frac{\mu(g_2 - g_1)^2 - g_1 h^2}{(g_1 + g_2)(g_2 - g_1)^2}}$$

$$g_2 > g_1 \Rightarrow \mu > \frac{g_1 h^2}{(g_2 - g_1)^2}.$$

可证明此态点不稳定. 我们忽略

▷ 稳定性分析.

$$\frac{d}{dt} (\delta \rho_i) = (3 \times 3 A) (\delta \rho_i)$$

$$\textcircled{1} \quad \rho_1 = \rho_2 = \rho_3 = 0 \quad A = \mu I \quad \begin{array}{l} \mu > 0 \text{ 不稳} \\ \mu < 0 \text{ 稳} \end{array}$$

$$\textcircled{2} \quad \rho_1 = \sqrt{\frac{\mu}{g_1}}, \quad \rho_2 = \rho_3 = 0. \quad A = \begin{pmatrix} -2\mu & & \\ & \left(-\frac{g_2}{g_1}\right)\mu & |h|\sqrt{\frac{\mu}{g_1}} \\ & |h|\sqrt{\frac{\mu}{g_1}} & \left(1-\frac{g_2}{g_1}\right)\mu \end{pmatrix}$$

$$\Rightarrow \omega_1 = -2\mu, \quad \omega_{2,3} = \left(1-\frac{g_2}{g_1}\right)\mu \mp |h|\sqrt{\frac{\mu}{g_1}}.$$

而 $\mu > 0, g_2 > g_1 \Rightarrow \omega_2 < 0$.

$$\text{稳定性要求 } \omega_3 < 0 \Rightarrow \mu > \frac{g_2 h^2}{(g_2 - g_1)^2} \equiv \mu_3.$$

$$\textcircled{3} \quad \rho_{1s} = \rho_{2s} = \rho_{3s} \neq 0 \equiv \rho_0 \quad A = \begin{pmatrix} a & b & b \\ b & a & b \\ b & b & a \end{pmatrix} \quad \begin{array}{l} a = \mu - (2g_1 + 2g_2)\rho_0^2 \\ b = |h|\rho_0 - 2g_2\rho_0^2. \end{array}$$

$$\omega_1 = \omega_2 = -b+a$$

$$\omega_3 = 2b+a$$

$$\text{若 } \mu < \frac{(2g_1 + g_2)h^2}{(g_2 - g_1)^2} \equiv \mu_4. \quad \omega_1, \omega_2 < 0$$

* 对 $\rho_0 = \rho_0 \pm$, $\rho_0^+ \rightarrow \omega_3 < 0$ 稳

$\rho_0^- \rightarrow \omega_3 > 0$ 不稳

$$\Gamma \quad \omega_3 = \mp \rho_0 \sqrt{h^2 + \mu \cdot 4(g_1 + 2g_2)} \quad \text{要求 } \mu > \frac{h^2}{4g_1 + 8g_2} \equiv \mu_1$$

$\mu = \mu_1$ 时 出现鞍点分支

总结. $\mu > \mu_1$ 出现六边形

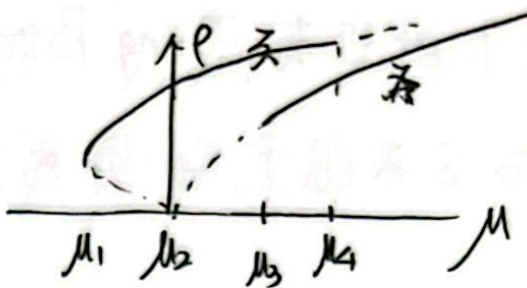
$> \mu_2$ ① 均匀解 不稳, 未提及

$> \mu_3$ 条纹稳定

$> \mu_4$ 六边形不稳

$$\therefore \mu_1 < \mu_2 < \mu_3 < \mu_4$$

会出现两种滞后行为



例) CIMA 系统.

$$\frac{\partial X}{\partial t} = f(X, Y) + D_x \nabla^2 X - k_r X S - k_c C \rightarrow \frac{\partial (X+C)}{\partial t} = f(X, Y) + D_x \nabla^2 X$$

$$\frac{\partial Y}{\partial t} = g(X, Y) + D_y \nabla^2 Y$$

$$\frac{\partial C}{\partial t} = k_r X S - k_c C \quad \cancel{\frac{\partial C}{\partial t} = 0}$$

$$\frac{dC}{dt} = 0 \rightarrow \frac{C}{SX} = \frac{k_r}{k_c} \equiv K. \quad C = KSX$$

$$\Rightarrow (1+KS) \frac{\partial X}{\partial t} = f(X, Y) + D_x \nabla^2 X$$

$$\frac{\partial Y}{\partial t} = g(X, Y) + D_y \nabla^2 Y.$$

均匀解仍存在.

线性稳定性分析. $\frac{dx}{dt} = \delta (a_{11}x + a_{12}y + D_x \nabla^2 x) \quad \delta = \frac{1}{1+KS}$

$$\frac{dy}{dt} = a_{21}x + a_{22}y + D_y \nabla^2 y$$

~~考虑 δ 并入~~

$$\left\{ \begin{array}{l} \delta a_{11} + a_{22} < 0 \\ \delta a_{12} = \delta a_{11} a_{22} - \delta a_{21} a_{12} > 0 \end{array} \right.$$

Turing 分岔点 $\left\{ \begin{array}{l} \delta a_{12} = \delta a_{11} a_{22} - \delta a_{21} a_{12} > 0 \\ \frac{D_y}{SD_x} \delta a_{11} + a_{22} \geq 2 \sqrt{\delta a_{12} \frac{D_y}{SD_x}} \end{array} \right.$

$$\therefore \frac{D_y}{D_x} a_{11} + a_{22} = 2 \sqrt{\delta a_{12}}$$

Hopf 分岔: $\delta a_{11} + a_{22} = 0$.

$$\delta a_{11} + a_{22} = 0.$$

$\frac{B}{D} \sim 1$ 时仍有 Turing Pattern (因为 δ 存在)

而 δ 来源于 C. 即反应复合物

1 Lecu

Lecture 10 Spiral waves, turbulence.

湍流和螺旋波.

④ 圆环形成和不稳定性.

来源: 可激发介质, 励磁自组织.

相位波: 振荡介质, Hopf分岔, 谐振自组织

D) 可激发介质中的三角波

$$\begin{aligned} \text{可激发系统, } \varepsilon dt u &= f(u, v) & \text{要求 } & \text{① 非线性} \\ dt v &= g(u, v) & & \text{② } \varepsilon \ll 1, \text{ 时间尺度差距大} \end{aligned}$$

特征 ① 只有一个稳态, 对小扰动稳定

② 扰动过大时会被激发

③ 回归初态需要弛豫时间

引入打散. < 未激发: 直齐

激发、出波波峰

假定激发源为直线, 激发后行成圆弧.

截成射线 \rightarrow 形成拓扑缺陷 \rightarrow 螺旋波 (无需外部再刺激为自组织行为)

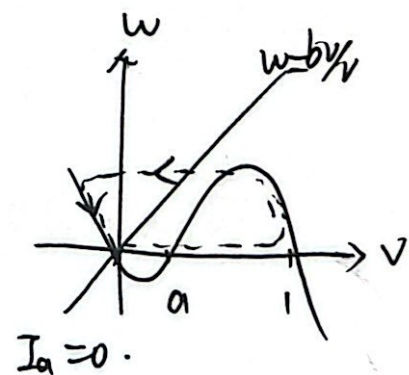
靶波同理, 截成小点

例. F-N model, without D.

$$dt v = f(v) - w + I_a$$

$$f(v) = v(a-v)(v^{-1})$$

$$dt w = bv - \gamma w$$



例1. BZ 模型

$$\varepsilon \frac{\partial u}{\partial t} = f(u, v) + \varepsilon \frac{1}{k_{\text{SB}}} D_u \nabla^2 u \Rightarrow \varepsilon \nabla^2 u \quad \text{取 } \delta = \frac{D_v}{D_u}$$

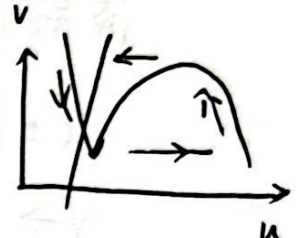
$$\frac{\partial v}{\partial t} = g(u, v) + \frac{1}{k_{\text{SB}}} D_v \nabla^2 v \Rightarrow \varepsilon \delta \nabla^2 v$$

行波解 (1-D) $u(x, t) = u(z)$ $z = x - ct$. v 固.

(原点移到行波上).

$$\Rightarrow \varepsilon^2 \frac{d^2 u}{dz^2} + \varepsilon c \frac{du}{dz} + f(u, v) = 0$$

$$\varepsilon \delta \frac{d^2 v}{dz^2} + c \frac{dv}{dz} + g(u, v) = 0$$



$$\varepsilon \rightarrow 0 \Rightarrow f(u, v) = 0. = (u - h_+)(u - h_0)(u - h_-)$$

$$z \rightarrow -\infty \quad u = h_+(v) \quad z \rightarrow +\infty \quad u = h_-(v)$$

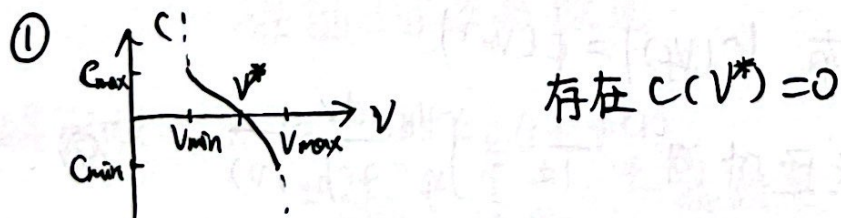
假设 ~~失稳的前缘~~ $z \sim 0$, 厚度 $\sim O(\varepsilon)$. 取 $\xi = z/\varepsilon$.

$$\frac{d^2 u}{d\xi^2} + c \frac{du}{d\xi} + f(u, v) = 0. \quad \xi \rightarrow \pm\infty, u = h_{\mp}(v), v = v_0$$

$$\delta \frac{d^2 v}{d\xi^2} + c \frac{dv}{d\xi} + \varepsilon g(u, v) = 0. \quad \varepsilon \rightarrow 0, v = v_0 + ce^{-\frac{c}{\delta}\xi}$$

$$\Rightarrow \frac{1}{2} \frac{d}{d\xi} \left(\frac{du}{d\xi} \right)^2 + c \left(\frac{du}{d\xi} \right)^2 + \frac{du}{d\xi} f = 0$$

$$C(v_0) \equiv \int_{h_-}^{h_+} f(u, v_0) du / \int_{-\infty}^{\infty} \left(\frac{du}{d\xi} \right)^2 d\xi \quad \text{取决于 } v_0!$$



存在 $C(v^*) = 0$

② Luther relation 路德关系

$$C = c C_0 \cdot \alpha \sqrt{k_B A \cdot D_u} \quad \xrightarrow{\text{反应速率}} \text{扩散尺度 } L \propto \sqrt{D \cdot t}$$

$$\Rightarrow c \alpha \sqrt{\frac{L}{t}} = \sqrt{\frac{D}{c}} \approx \sqrt{D \times k_B A}$$

最初 (u_s, v_s) 为均匀流速解，解在 $h_-(v_s)$ 上。

给初态矩形波 $u(x, 0) = \begin{cases} h_+(v_s) & |x| \leq x_0 \\ h_-(v_s) & |x| \geq x_0 \end{cases}$

波峰在 x_0 处形成。

若 $v_s < v^*$ ，波峰向正方向以 $C(v_s)$ 传播。

波峰过后， v 由 $\partial_t v = g(u, v)$ 快速、开始增大。

$u \pm h_\pm(v)$ 形式变化。

$v \rightarrow v_{max}$ ， h_+ 与 h_0 合并， $u \xrightarrow{\text{跳跃}} h_-(v)$ 。波脊。

此时，若 $C(v_s) > C(v_{max}) \Rightarrow c$ 完全由 v 决定， $c = C(v_s)$

波脊行为由弛豫所定

若 $C(v_s) < C(v_{max}) \Rightarrow$ 波脊快于波峰。

$v_b = v_b < v_{max}$ 时 u 下跳至 $h_-(v)$

满足 $|C(v_b)| = |C(v_s)|$

此后： $g < 0$ ， v 逐渐减少至 v_s 。

由此以上知，波速由 v_s 唯一决定。

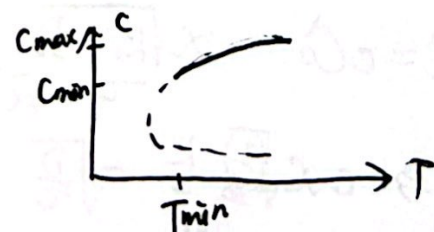
若有微扰源周期 T ，且 T 足够小，使弛豫时间未结束。

此时逐渐有 $|C(v_f)| = |C(v_b)|$

忽略 u 跃迁时间， $T_\pm = \int_{v_b}^{v_f} \frac{dv}{g(h_\pm, v)}$ ⑨

可表达为 v 的函数， $T = T(v_f)$ ， $c = C(v_f)$

$$\Rightarrow c = c(T)$$



2D 维 C 与 液 形 状 特 别 是 波 前 曲 率 有 关

引入原点在曲率中心的极坐标，忽略 $\frac{\partial^2 u}{\partial r^2}$ (\because 切向 ∇C (波前可忽略))

$$\varepsilon \frac{\partial u}{\partial t} = f + \varepsilon^2 \frac{\partial^2 u}{\partial r^2} + K \varepsilon^2 \frac{\partial u}{\partial r} \quad K = \frac{1}{r}$$

$$\partial_t v = g + \varepsilon \delta \cdot \nabla_r v + K \varepsilon \delta \partial_r v$$

令 $r' = r - Nt$. N 为 法 向 速 度.

$$\Rightarrow \varepsilon \frac{\partial^2 u}{\partial r'^2} + \varepsilon [N + \varepsilon K] \partial_{r'} u + f = 0$$

$$\varepsilon \delta \partial_{r'}^2 v + [N + \varepsilon \delta K] \partial_{r'} v + g = 0$$

$K=0$ 还原 为 一 维 问 题 ($r \rightarrow \infty$)

在 波 锋 附 近, $\xi = r/\varepsilon$, 有.

$$d_\xi^2 u + [N + \varepsilon k] d_\xi u + f = 0 \quad \Rightarrow \quad v = v_0 \quad (\xi \rightarrow \infty)$$

$$\delta d_\xi^2 v + [N + \varepsilon k \delta] d_\xi v + g = 0 \quad \Rightarrow \quad u(\pm \infty) = h_\mp(v_0)$$

令 $\varepsilon = 0$, 有 $N = C(v_0) - \underline{\varepsilon k}$. 加 上 曲 率 修 正. (程 凸 向 外)

$k \gg 1$ 有 效.

若 $|k| \sim O(1) \Rightarrow$ 行 波 为 平 面 波.

对 BZ 反应, 还原后 有 $N = c - DK$.

这 在 $DK \sim \sqrt{P/c}$ 时 影 响 显 著. 同 以 波 相 碰, 失 点 修 正

保 证 了 行 波 通 稳.

对 螺 旋 波, 可 用 $\psi = \omega t \pm m\theta + \psi(r)$

↑ ↑ ↑
频 率 脉 故 螺 旋 类.

~~波 锋 曲 线~~, $x = r \cos(\phi + \theta r)$ 取 $t=0$, 时 $\phi = \phi_0$. 取 $\theta = \psi(r)$

若 $\theta = ar$ 阿 基 末 德 螺 旋

$\theta = a \ln r$ 对 数 螺 旋

▷ 螺旋波与本构方程 $\psi = r\theta'(r)$ ~~$\theta(r) = \alpha r$~~ ~~由线性~~ ~~95~~

$$\text{波数 } N = \frac{\omega r}{(1+\psi^2)^{1/2}} \quad k = \frac{\psi'}{(1+\psi^2)^{3/2}} + \frac{\psi}{r(1+\psi^2)^{1/2}} \quad \left(\begin{array}{l} \text{曲线 } x = r \cos(\theta - \omega t) \\ y = r \sin(\theta - \omega t) \end{array} \right)$$

$$r \frac{d\psi}{dr} = (1+\psi^2) \left(\frac{rc}{\varepsilon} \sqrt{1+\psi^2} - \frac{\omega r^2}{\varepsilon} - \psi \right)$$

$$\psi(r=0) = 0 \quad \psi(r \rightarrow \infty) = kr. \quad (\text{阿瓦螺线})$$

$$\text{从而进一步得到 } \theta(r) = \int \Theta' \frac{\psi dr}{r} dr$$

$$\begin{aligned} r \text{很小时, 有. } \psi &\sim -\frac{c}{2\varepsilon} r + \frac{\omega}{3\varepsilon} r^2 + O(r^3) \quad \xrightarrow{r \rightarrow 0} \psi = -\frac{\omega r}{c} \left(1 + \frac{1}{3} + \frac{cr}{\varepsilon} \right) \\ r \text{很大时有 } \psi &\sim -\frac{\omega}{c} r - \frac{\omega\varepsilon}{c^2} + O(\frac{1}{r}) \quad \xleftarrow[r \rightarrow \infty]{} \end{aligned}$$

$$\text{故其光速条件 } \omega = \underbrace{m^* c^2}_{\text{本构关系}} / \varepsilon \quad m^* = \frac{3-\sqrt{5}}{4} \approx 0.317$$

$$\Rightarrow \theta = -m^* \left(\frac{cr}{\varepsilon} + \ln(\sqrt{3} + \frac{cr}{\varepsilon}) \right) + \text{const}$$

$$\text{取边界为 } \psi(r_0) = 0 \Rightarrow \psi = \frac{\alpha \bar{r}}{r_0} + \frac{\beta \bar{r}}{r_0 + \gamma \bar{r}} \quad \alpha = -\frac{\bar{\omega}}{\bar{c}},$$

$$\begin{aligned} \beta &= \bar{\omega} + \frac{\bar{\omega}}{\bar{c}} - \bar{c} \quad r = -\frac{\bar{c}}{2\beta} \\ \Rightarrow \omega &= m^* \frac{c^2}{\varepsilon} + \alpha^* c^4 r_0^2 / \varepsilon^2. \end{aligned}$$

这是普遍的